

温度設計の立場よりみた人工衛星の 最適打上げ計画

小林康徳

Launch Optimization of Artificial Satellites on the point of view of Thermal Design

Yashinori By KOBAYASHI

Abstract: The methods of calculating the radiative heat input to an artificial satellite orbiting around the earth with relatively low altitude due to the solar radiation, the earth albedo and the infrared thermal radiation of the earth are surveyed, with the emphasis on the approximate expressions of the angle factor between the earth and the satellite elements. The calculating formula was written in Fortran IV.

Using this program, the optimum launch operation, especially the launch times, is found, in which the variation of the radiative heat input to the satellite is minimized during its specified life period. An example of this method applied to a spherical satellite is shown.

概要

比較的低高度の地球軌道上を飛行する人工衛星に対する、太陽ふく射・地球のアルビドおよびその赤外温度ふく射による熱入力を計算する方法の展望を行ない、特に、あとの二つに対して重要な効果を持つ衛星表面と地球表面との間の形態係数の求め方について、幾つかの方法を提示した。

これらの方針を使用して、ある軌道・姿勢の条件のもとに飛行している衛星に対する熱入力を計算するプログラムが示された。このプログラムを使用して、ある与えられた衛星の最も熱入力の変化が少なくなるような打上げ時刻を選定することができる。球状衛星に対する計算結果が示された。

1. 緒言

軌道上を飛行する人工衛星は宇宙空間のかこくな熱的環境の中で長期にわたって正常にその使命を果しうることが要請される。したがって人工衛星の温度制御系の設計は正確に行なわれなければならず、そのためには外界からの熱入力の大きさを知ることが重要である。この熱量はほとんど太陽などの天体からのふく射によるものであり、その量は衛星の軌道、位置および姿勢によって大きく変化する。一方、衛星の寿命や性能という観点から見れば、当

然外界からの熱入力は時間的に大きく変化しないことが望ましい。

この論文ではもっぱら外界から衛星に入射する熱ふく射に着目して、その時間的変化が小さいという要求を満足するような最適打上げ条件を求める方法が報告される。

2. 軌道パラメータ

衛星は軌道上を一周する間に一般にある時間、太陽に対して地球の陰に入り太陽からのふく射をさえぎられる期間がある。衛星の周期に対するこの時間の比を日陰率 (eclipse factor) と言い、1から日陰率を引いたものを日照率という。日照率はあとで見るごとく衛星への熱入力を考えるうえで最も重要なパラメータであり、その値は普通、0.65程度から最大1までの間の値をとる。

日照率の計算は W. S. Snoddy [1] の計算法によった。これは地球の赤道に対して、ある傾きを持った円軌道上を飛行している衛星について各周期ごとの日照率および種々の軌道パラメータを計算する方法で、地球のゆがみ (oblateness) に起因する微小じょう乱の効果も考慮されている。これは初期条件として

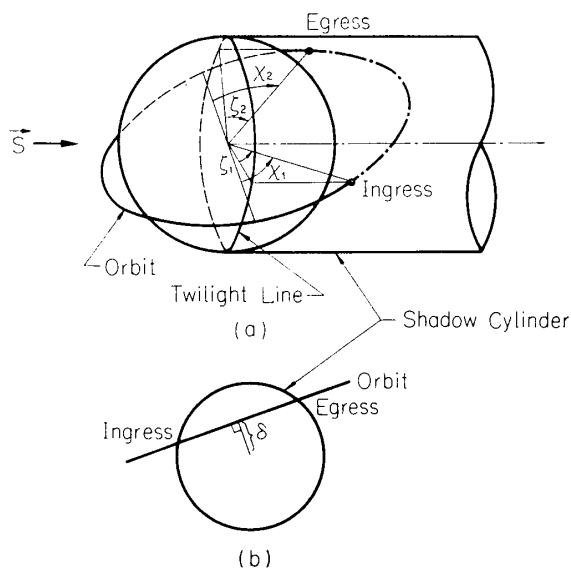
- i) 打上げの世界時 (T)
- ii) 春分の日から何日後に打ち上げたか (D_0)
- iii) 軌道の離心率 (e)
- iv) 最初の近地点の緯度、経度 (LAT, LON)
- v) 軌道の赤道面に対する傾き角 (i)
- vi) 軌道の近地点半径 (r_p)
- vii) 近地点での衛星の速度の北向き成分 +or- (S)
- viii) 打上げ年度 (YEAR)

を与えて日照率を打上げ後経過した日数の関数として求める方法で、計算法の骨子は太陽に対して地球の陰になる宇宙空間を円筒形と仮定し、衛星がその中に侵入するとき、およびそこから脱出するときの位置を求め、さらに周期上の基準点からそれらの位置に達するまでに要する時間差から日照率を求めるものである。

陰の部分に侵入するとき、およびそこから脱出するときの角度関係は、第1—(a), (b) 図を参考にして、

$$\left. \begin{aligned} \sin X_1 &= \frac{\sin \zeta_1}{\cos \delta_1} \\ \sin X_2 &= \frac{\sin \zeta_2}{\cos \delta_2} \end{aligned} \right\} \quad (1)$$

で与えられる。ただし、 X は軌道面内での日出日没線と侵入時・脱出時における衛星の位置ベクトルとのなす角であり、 ζ は侵入時、脱出時における衛星の位置ベクトルと、そこから円筒形の母線に沿って地球の表面に引いた接線が日の出日没線と交わる点とのなす角であり、 δ は軌道面と太陽ベクトルのなす角である。なお、添字 1, 2 はそれぞれ侵入時、脱出時を表わす。したがって、計算の基本はさきにあげた初期条件を用いて (1) 式を解き、基準点 (ここでは太陽ベクトルが軌道面に投写する位置) から X_1, X_2 に達するまでの時間差を



第1図 太陽と地球と衛星軌道の関係を示す図
(文献[1]より)

求めることである。地球のゆがみの効果は赤道上の昇交点退却($\dot{\Omega}$)としたがって近地点引数($\dot{\omega}$)を表わすばあいに、 P を周期とするとき、

$$\begin{aligned}\dot{\Omega} &= -\frac{2\pi}{P} \cos i \left[\frac{3K_1}{\{r_p(1+e)\}^2} \right. \\ &\quad \left. + \frac{10K_2}{\{r_p(1+e)\}^4} \left(1 + \frac{3}{2}e^2 \right) \left(1 - \frac{7}{4} \sin^2 i \right) \right] \text{ (rad/day)} \\ \dot{\omega} &= \frac{2\pi}{P} \left[\frac{3K_1(1-3/2 \sin^2 i)}{\{r_p(1+e)\}^2} \right. \\ &\quad \left. + \frac{10K_2}{\{r_p(1+e)\}^4} \left(1 - 5 \sin^2 i + \frac{35}{3} \sin^4 i \right) \right] \\ &\quad - \cos i \times \dot{\Omega} \text{ (rad/day)}\end{aligned}\quad (2)$$

のごとく級数で展開した式で表わし、 K_1, K_2 の二つの定数の中に含められている。さらにその他の地球の公転中のゆらぎも考慮されている。参考のためにゆがみのないときの $\dot{\Omega}$ と $\dot{\omega}$ の形は

$$\begin{aligned}\dot{\Omega} &= -\frac{\pi}{18} \cdot \frac{\cos i}{(1-e^2)^2} \left(\frac{r_e}{a} \right)^{3.5} \\ \dot{\omega} &= \frac{\pi}{9} \cdot \frac{(1-1.5 \sin^2 i)}{(1-e^2)} \left(\frac{r_e}{a} \right)^{3.5}\end{aligned}$$

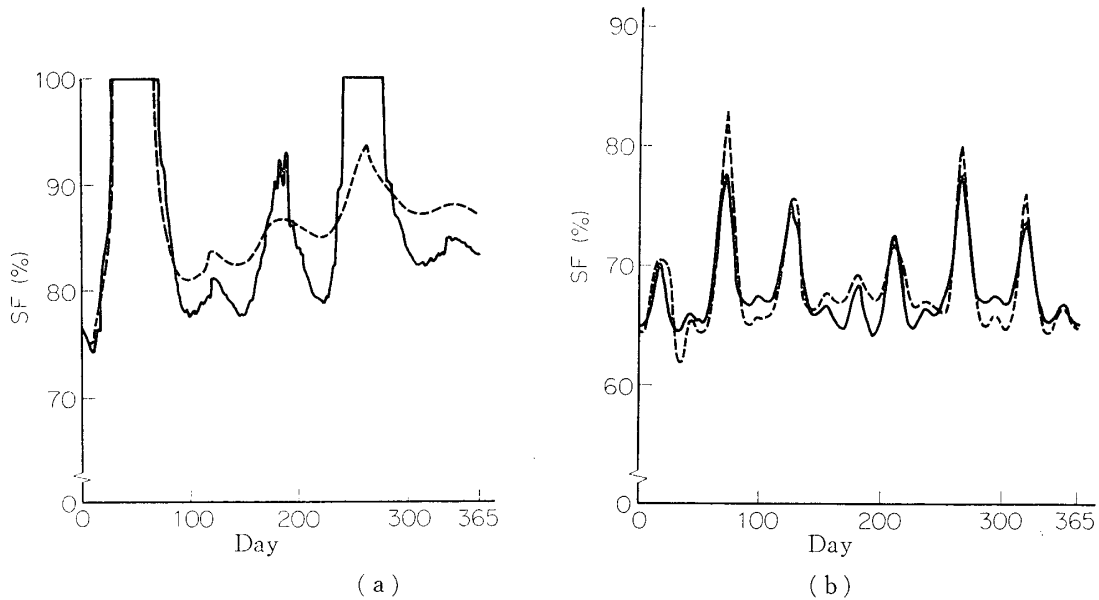
である。ただし r_e は地球の平均半径、 a は衛星の軌道の長軸半径である。

第2-(a), (b) 図は日照率(SF)の分布を打上げ後経過した日数(DAY)に対して示したものである。地球のゆがみを考慮に入れないときの日照率も参考のために点線で示されている。

第3図はやはり日照率の打上げ後の変化を、打上げ時刻をパラメータとして示したものである。図中 $T=0$ は春分の日の午前9時に衛星が最初に近地点に達するように打上げることを意味し、したがって、たとえば $T=4$ はそれより4時間後、すなわち春分の日の午後1時に最初に近地点に達するような打上げを意味する。(以後、この論文の中のグラフでは、 T はすべてこのような意味で用いられている。したがって T は飛しょう体が地上を発射する厳密な時刻を表わすものではない。しかし、地上発射から、最初に近地点に達するまでに要する時間は飛しょう体の性能と打上げ時の軌道条件から容易に求められる性質のものであるから、この論文中、 T を打上げ時刻と呼ぶ。) これら第2, 3, の図から日照率(SF)は打上げ時刻(T)と打上げ後経過した日数(DAY)の関数であることがわかる。

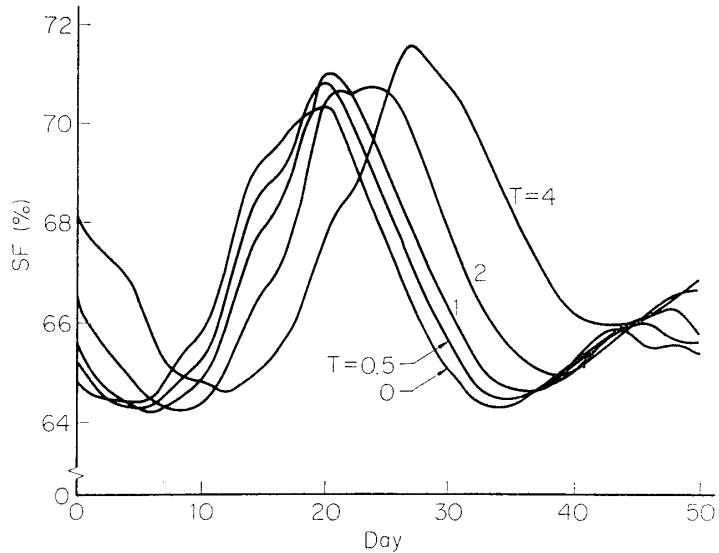
3. 热入力

(1) 衛星の熱的環境



第 2 図 日照率の分布, (春分午前 9 時打上げ)

(a) 近地点高度 (h_P) 500 km, 离心率 0.40874 (远地点高度 (h_A)=10,000 km に相当)
 (b) " 500 km " 0.049102 (远地点高度 (h_A)=1,000 km に相当)



第3図 打上げ時刻による日照率分布の変動（近地点高度
500 km, 離心率 0.049102）

地球を周る人工衛星に入射するふく射エネルギーには、太陽からの直接ふく射、アルビド、地球からの赤外ふく射の三種が考えられる。

太陽ふく射の強さ (E_s) は地球の近傍ではほぼ一定で、約 0.14 watt/cm² である。また、地球表面上での赤外ふく射の強さ (E_R) は地球が球状の灰色体であり、かつその温度は一様

で一定であると仮定すると、次のように近似的に求められる。すなわち、地球が単位時間に、吸収する太陽ふく射のエネルギー (Q_E) は、

$$Q_E = E_S \cdot \pi r_e^2 (1 - R)$$

である。ただし、 r_e は地球の半径、 R は地球の反射率で、普通、0.34 がその値として用いられる。吸収された熱量 Q_E は地球の全表面から拡散的に放射されるから、 E_R は次のように台えられる。

$$E_R = Q_E / 4\pi r_e^2 = E_S (1 - R) / 4 \quad (\text{watt/cm}^2) \quad (3)$$

アルビドの強さ (E_A) は地球上の地域や気候条件、などによって異なり定量的には三者のうちでもっとも不確定なものである。この論文では、

$$E_A = 0.34 \cdot E_S \quad (4)$$

を採用した。

(2) 形態係数の定義 [3]

実際の衛星への熱入力を計算するに先だって拡散的に放射し、反射する二つの平面の間のふく射熱交換を考え、その形態係数 (angle factor) を定義する。

第4図で dA_1, dA_2 はそれぞれ平面 A_1, A_2 の微小面要素で l はそれらの間の長さ、 β は面要素にたてた法線ベクトル \vec{n} と \vec{l} とのなす角である。このとき dA_1 から出る全ふく射エネルギー (Q_{dA_1}) とし、その中で dA_2 に達する量を $dQ_{dA_1-dA_2}$ とするとき、それらの比 $dQ_{dA_1-dA_2}/Q_{dA_1}$ を面要素 dA_2 の dA_1 に対する形態係数と定義する。すなわち、

$$dF_{dA_1-dA_2} = dQ_{dA_1-dA_2} / Q_{dA_1} \quad (5)$$

しかるに

$$dQ_{dA_1-dA_2} = I_{1n} \cos \beta_1 dA_1 d\omega$$

ただし $d\omega$ は dA_1 から dA_2 を見る立体角であり、 I_{1n} は dA_1 からその法線方向に出ていくふく射の強さである。第4図からも明らかなどとく

$$d\omega = dA_2 \cos \beta_2 / l^2$$

であるから

$$\begin{aligned} dQ_{dA_1-dA_2} &= I_{1n} \cos \beta_1 \cos \beta_2 dA_1 dA_2 / l^2 \\ &= B_1 \cos \beta_1 \cos \beta_2 dA_1 dA_2 / \pi l^2 \end{aligned} \quad (6)$$

と表わされる。ただし、 B はふく射能で I_n との関係は $B = \pi I_n$ である。一方、 dA_1 から出る全ふく射エネルギー Q_{dA_1} は

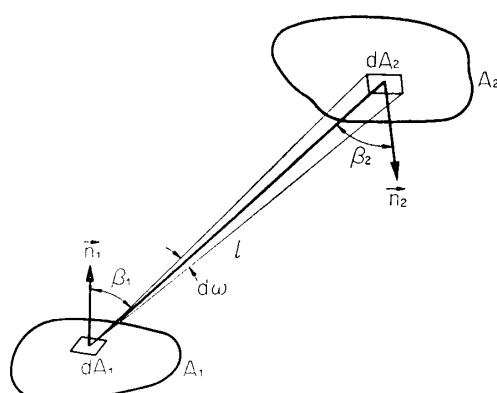
$$Q_{dA_1} = B_1 dA_1 \quad (7)$$

であるから (5), (6), (7) 式より、

$$dF_{dA_1-dA_2} = \cos \beta_1 \cos \beta_2 dA_1 dA_2 / \pi l^2 \quad (8)$$

と表わされる。

この考え方を発展させて微小面要素 dA_1 と有限な平面 A_2 との間の熱交換における形態係数は次のように表わされる。



第4図

$$F_{dA_1-dA_2} = \int_{A_2} \frac{\cos \beta_1 \cos \beta_2 dA_2}{\pi l^2} \quad (9)$$

および

$$dF_{A_2-dA_1} = dA_1 \int_{A_2} \frac{B_2 \cos \beta_1 \cos \beta_2}{\pi l^2} dA_2 / \int_{A_2} B_2 dA_2 \quad (10)$$

さらに二つの有限な平面 A_1, A_2 の間の形態係数は

$$F_{A_1-A_2} = \int_{A_1} \int_{A_2} \frac{B_1 \cos \beta_1 \cos \beta_2 dA_1 dA_2}{\pi l^2} / \int_{A_1} B_1 dA_1 \quad (11)$$

で表わされる。もし、 B の値がその平面内で、一様であると仮定すると、(10), (11) 式はそれぞれ

$$dF_{A_2-dA_1} = \frac{dA_1}{A_2} \int_{A_2} \frac{\cos \beta_1 \cos \beta_2}{\pi l^2} dA_2 \quad (12)$$

$$F_{A_1-A_2} = \frac{1}{A_1} \int_{A_1} \int_{A_2} \frac{\cos \beta_1 \cos \beta_2}{\pi l^2} dA_1 dA_2 \quad (13)$$

と簡単化される。

(3) 入射熱エネルギーの計算

衛星に入射するふく射熱エネルギーは衛星の軌道上における位置、および姿勢によってかなり大きく異なることはさきに述べたがこれらの効果を形態係数に含ませることによって以下のように一般的に表わされる。

[A] 太陽ふく射による熱入力

第5図に示すとく太陽からのふく射ベクトル (\vec{S}) とのなす角を θ_s とすると単位時間に、この表面に入射する熱量 (q_s) は

$$q_s = E_s \cdot A \cdot F_s(\theta_s) \quad (14)$$

$$F_s(\theta_s) = \cos \theta_s \quad (15)$$

と表わされる。ここで A は平面の表面積、 $F_s(\theta_s)$ は太陽ふく射における平面 A の形態係数であり、その幾何学的面積と太陽ふく射に有効に寄与する面積との比を表わす。 F_s は(15)式に示されるごとく θ_s の関係である。衛星が軌道上を一周する間に得る平均熱量 (Q_s) は、

$$Q_s = E_s \cdot F_s(\theta_s) \cdot A \cdot SF \quad (16)$$

である。

[B] 地球の赤外ふく射による熱入力

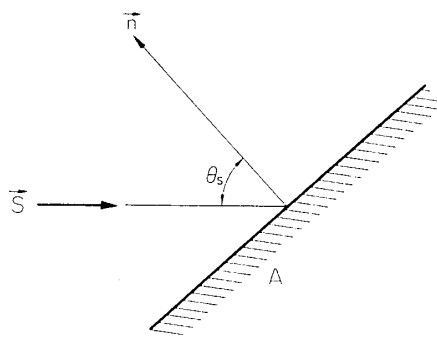
軌道上の任意の位置での単位時間当たりの熱入力 $q_R(\psi)$ は [A] と同じような考え方により

$$q_s(\psi) = E_R \cdot A \cdot F_R(\psi) \quad (17)$$

と表わされ、一周期平均の熱量 Q_R は

$$Q_R = \frac{1}{2\pi} \int_0^{2\pi} q_R(\psi) d\psi = \frac{1}{P} \int_0^P q_R(t(\psi)) dt(\psi) \quad (18)$$

と表わされる。ただし ψ は真近点きより (true anomaly)、 P は周期、 $F_R(\psi)$ は衛星と地球との赤外ふく射における形態係数で ψ の関数である。(18) 式において $dt(\psi)$ は衛星が軌



第5図

道上の位置を $d\psi$ 移動するのに要する時間を示す。
時間 t と角度 ψ との関係式はケプラーの法則から,

$$t = \frac{2\pi}{P}(\phi_e - e \sin \phi_e)$$

$$\phi_e = 2 \tan^{-1} \left\{ \tan \frac{\psi}{2} \left(\frac{a-c}{b} \right) \right\}$$

ただし a, b, c は第6図に示すごとくダ円軌道の長軸、短軸、および焦点と中心間のきよりを示す。

[C] アルビドによる熱入力

アルビドにおける衛星と地球との形態係数を $F_A(\psi)$ とすると [B] と全く同じように考え、単位時間当たりの熱入力 (q_A)、一周期平均の熱量 (Q_A) はそれぞれ

$$q_A(\psi) = E_A \cdot A \cdot F_A(\psi) \quad (20)$$

$$Q_A = \frac{1}{P} \int_0^P q_A(t(\psi)) dt(\psi) \quad (21)$$

と表わされる。

したがって衛星に入射する一周期平均の全ふく射エネルギー (Q_T) は [A], [B], [C] に示された三つの成分の和として

$$Q_T = Q_S + Q_R + Q_A \quad (22)$$

と表わされる。

(4) 形態係数

前節で用いられた衛星の形態係数、 F_S, F_R, F_A について吟味する。いま、衛星の姿勢はスピニ安定法によって慣性空間に対して常に一定に保たれている場合を考える。平行光に対する平板の形態係数は (15) 式の形で既に示されている。一方、地球と衛星表面の間の形態係数 $F_R(\psi), F_A(\psi)$ は一般的には計算がかなりやっかいになるので適当な仮定を導入してその近似値を使用するばあいが多い。二、三の形状の衛星について例を示す。

[A] 球形衛星と地球との形態係数

球形衛星の形態係数については既にいくつかの文献で紹介されている [4] [5] [6]。

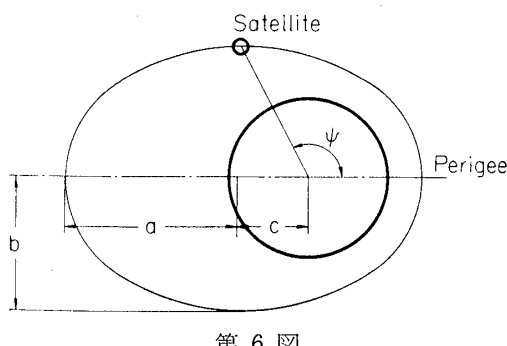
赤外ふく射における地球の衛星に対する形態係数 (F_R) は第7図を参照し、(13) 式を用いて

$$F_R = \int_{A_E} \frac{\cos \beta_1 dA_E}{\pi l^2} = 2 \{ 1 - \sqrt{1 - (r_e/r)^2} \} \quad (23)$$

を得る。ただし r は地球の中心から衛星までのきよりで、ダ円軌道であれば

$$r = \frac{a(1-e^2)}{1+e \cos \phi} \quad (24)$$

と表わされる。 A_E, dA_E は、第7図で斜線部で示されるごとく地球上で衛星を見ることができる範囲、およびその内部の微小面要素を示す。また、球状衛星では同図に示されるように、(13) 式において $\beta_2=0$ とおけるような任意の断面を考えることができるので F_R の値を簡



第6図

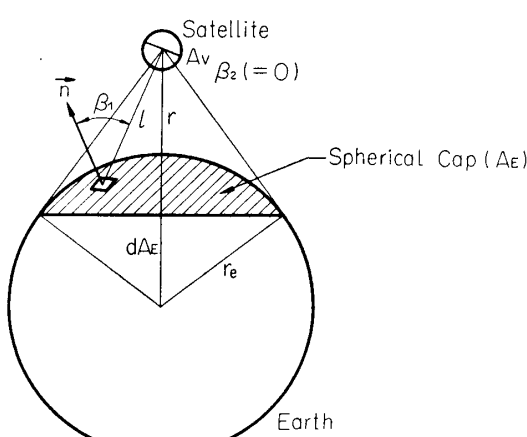
ある。 F_A を求める数値計算法の一例として、F.G. Cunningham の方法 [5] を簡単に紹介する。

第9-(a) 図を参照して斜線部の任意の微小面要素 dA_E からなるアルビドは $E_A \cdot \cos \lambda \cdot dA_E$ で表わされる。一方、同図より、

$$\left. \begin{aligned} dA_E &= r_e \sin \theta d\theta d\phi \\ l^2 &= r^2 + r_e^2 - 2rr_e \cos \theta \\ \cos \beta_1 &= (r \cos \theta - r_e)/l \\ \cos \lambda &= \cos \theta \cos \theta_s + \sin \theta \sin \theta_s \cos \phi \end{aligned} \right\} \quad (25)$$

の関係が得られるから (13) 式にこれらを代入して次のように表わされる。

$$\begin{aligned} F_A &= \int_{A_E} \cos \lambda \cos \beta_1 dA_E / \pi l^2 \\ &= \int_0^{\theta_m} \int_0^{\phi_m} \frac{(r \cos \theta - r_e)(\cos \theta \cos \theta_s + \sin \theta \sin \theta_s \cos \phi)r_e^2 \sin \theta}{\pi(r^2 + r_e^2 - 2rr_e \cos \theta)^{3/2}} d\theta d\phi \end{aligned} \quad (26)$$



第7図 赤外ふく射による衛星と地球の関係図

簡単に計算できることに注意されたい。

アルビドにおける地球の衛星に対する形態係数 (F_A) は赤外ふく射のばあいと同じ考え方で、やはり (13) 式を用いて求められる。ただし、この場合積分範囲は第8-(a) 図に斜線で示されるように、衛星を見ることができる地球上の領域と太陽ふく射を受ける半球表面との重複した領域である。もし、第8-(b) 図のように重複した領域がない場合は積分領域は零で

ある。 F_A を求める数値計算法の一例として、F.G. Cunningham の方法 [5] を簡単に紹介する。

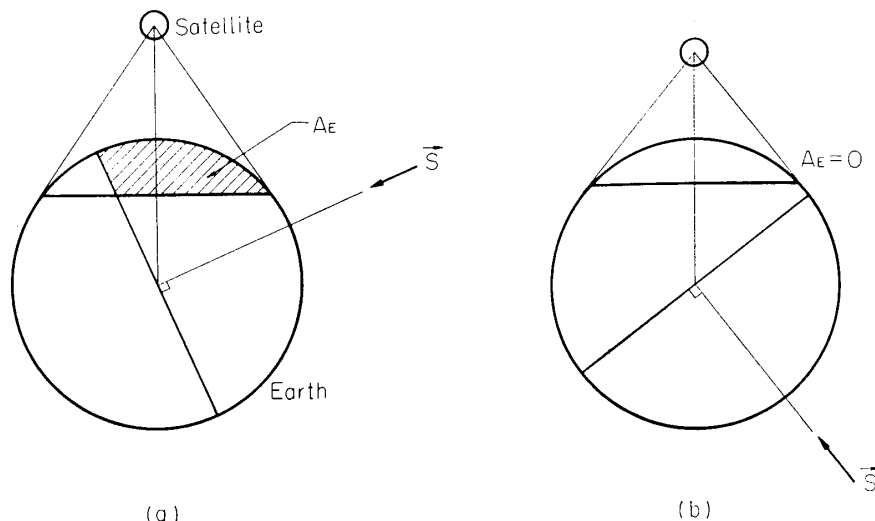
第9-(a) 図を参照して斜線部の任意の微小面要素 dA_E からなるアルビドは $E_A \cdot \cos \lambda \cdot dA_E$ で表わされる。一方、同図より、

ただし λ は太陽ベクトル (\vec{S}) と dA_E の法線ベクトル \vec{n}_1 とのなす角である。さらに第9-(b) 図を参照して θ_s を他の軌道パラメータ δ, φ を用いて

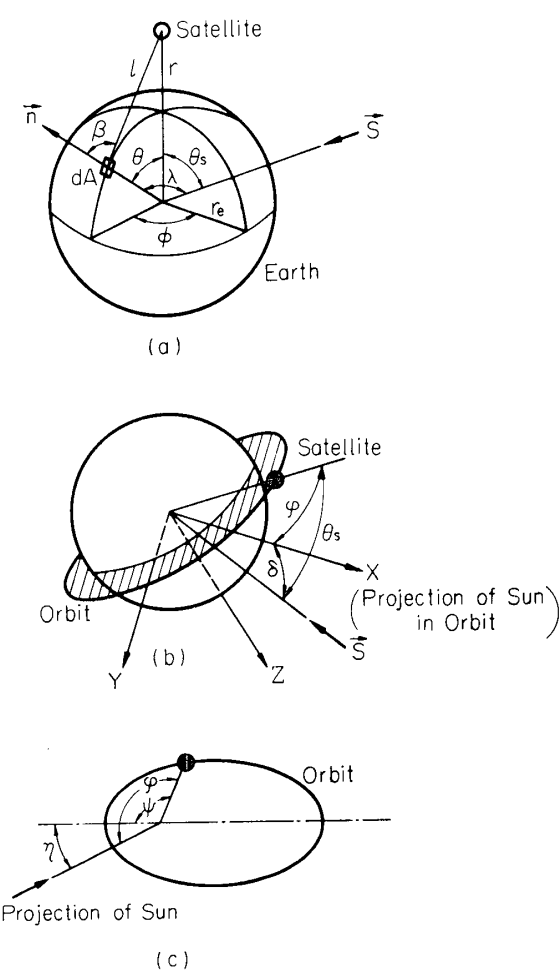
$$\cos \theta_s = \cos \delta \cos \varphi \quad (27)$$

と表わされることに注目して (26) 式を整理すると

$$\begin{aligned} F_A &= \frac{2}{\pi} \int_0^{\theta_m} \{a(1-e^2) - W\} \sin \theta \cdot W^2 \cdot \{\phi_m \cos \theta \cos \delta \cos \varphi \\ &\quad + \sin \theta (1 - \cos^2 \delta \cos^2 \varphi)^{1/2} \sin \phi_m\} \{a^2(1-e^2) + W^2 \\ &\quad - 2aW(1-e^2)\cos \theta\}^{-3/2} d\theta \end{aligned} \quad (28)$$



第8図 アルビドにおける衛星と地球の関係図



第9図 衛星、地球、太陽の位置関係を表わす図（文献[5]より）

となる。ただし、

$$\left. \begin{aligned} W &= 1 + e \cos(\varphi - \eta) \\ \cos \theta_m &= r_e / r \\ \cos \phi_m &= -\cot \theta \cos \delta \cos \varphi / (1 - \cos^2 \delta \cos^2 \varphi)^{1/2} \end{aligned} \right\} \quad (29)$$

である。上式で、 η は第 9-(c) 図に示されるごとく近地点の位置と太陽ベクトル (\vec{S}) を軌道面に投射したときの位置とのなす角であり、角度、 φ, ψ との関係は $\psi = \varphi - \eta$ である。 F_A の計算順序としては、与えられた軌道条件からまず (29) 式を計算し、 θ_m, ϕ_m を求め、これらの値を用いて (28) 式を計算する。このときもし $|\cos \phi_m| > 1$ ならば $\phi_m = \pi$ とおいた後で (28) 式の計算を行なう。

F_A を求めるより簡単な近似法としては Bannister の近似 [6][7]

$$F_A \approx F_R \cos \theta_S \quad (30)$$

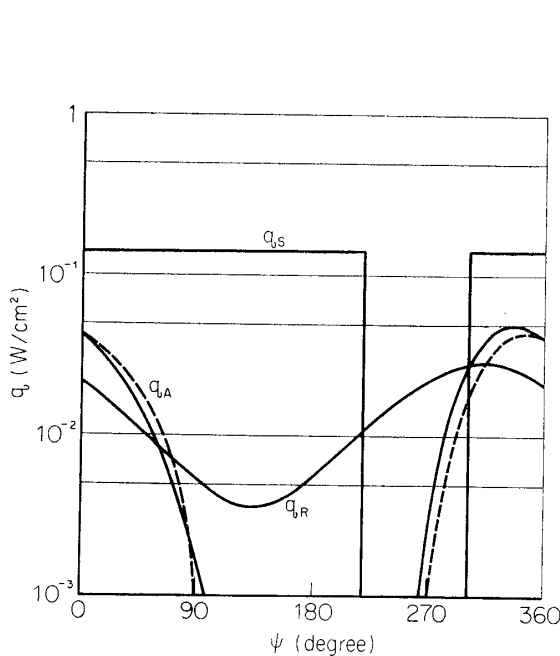
もよく用いられる。衛星の形状が簡単な形状であるときには有効な方法であろう。

第 10 図に (1), (23), (28), (30) 式を用いて計算された単位断面積を持つ球形衛星の一周期間の q_s, q_R, q_A の分布図の例を示

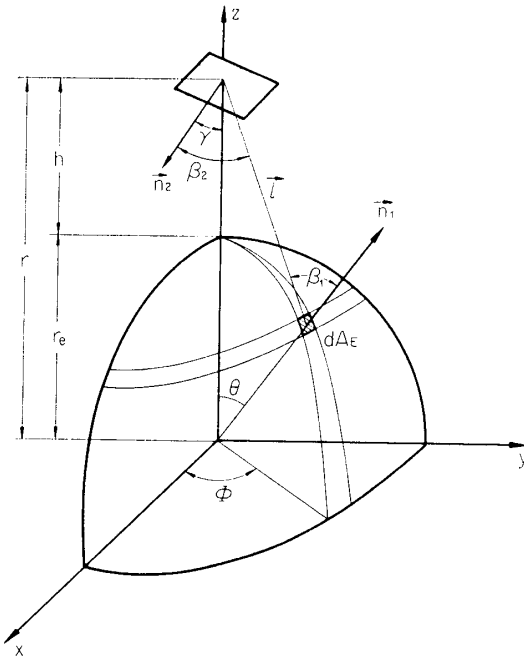
す。点線が Bannister の近似式による結果である。

[B] 平板と地球との形態係数 [8]

ここでは文献 [8] の下地、足立両氏による計算法を紹介する。第 11 図に示されるごとく地球上任意の高さ h に γ の傾き角を持った平板があるとき、これと地球との形態係数を考える。初期条件として γ と $r (=r_e+h)$ が与えられると同図の記号を用いて



第 10 図 一周期に亘る q_s, q_R, q_A の分布（春分午前 9 時打上げの第一周目、近地点きより 500 km, 離心率 0.40874）



第 11 図 地球と平板の位置関係
(文献 [8] より)

$$\left. \begin{aligned} \vec{l} &= (r_e \sin \theta \cos \phi, r_e \sin \theta \sin \phi, r_e \cos \theta - r) \\ \vec{n}_2 &= (\sin \gamma, 0, -\cos \gamma) \\ \vec{n}_1 &= (\sin \theta \cos \phi, \sin \theta \sin \phi, \cos \theta) \end{aligned} \right\} \quad (31)$$

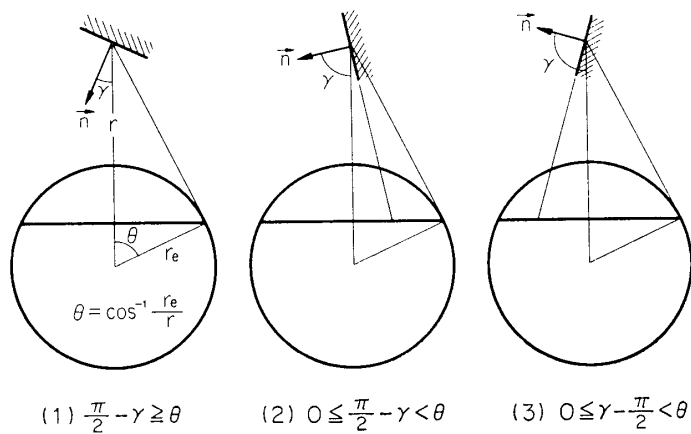
のごとくベクトル量が求められ、したがってこれらのベクトルの内積から β_1, β_2 が求められるから赤外ふく射における地球の平板に対する形態係数 F_R は (13) 式を用いて、

$$F_R = 2 \int_0^{\cos^{-1}(r_e/r)} \int_0^\pi \frac{\cos \beta_1 \cos \beta_2}{\pi l^2} r_e^2 \sin \theta d\theta d\phi \quad (32)$$

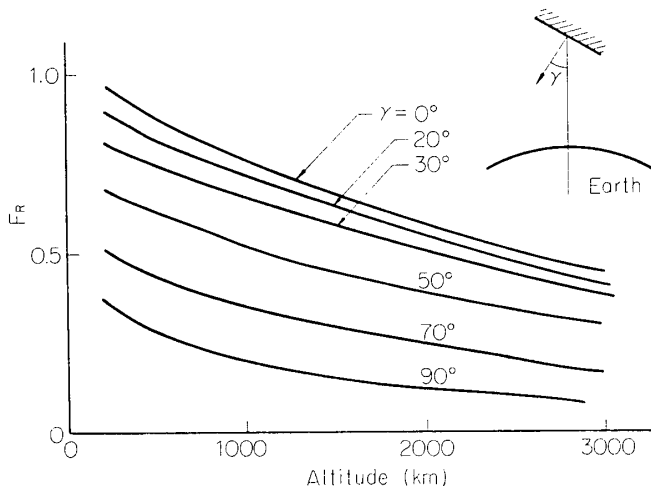
で与えられる。上式の積分範囲は第 12 図に示されるごとく r と γ の値によって異なり、 $\cos \gamma > 0$ が制限条件として加わる。傾き角 γ をパラメータとした F_R の計算例を第 13 図に示す。

[C] 円筒形衛星と地球との形態係数 [8]

円筒形に対する地球の形態係数は次のようにして求められる。まず円筒の側面を母線に沿



第12図 平板に入射する赤外ふく射の計算の積分範囲を示す図（文献[8]より）

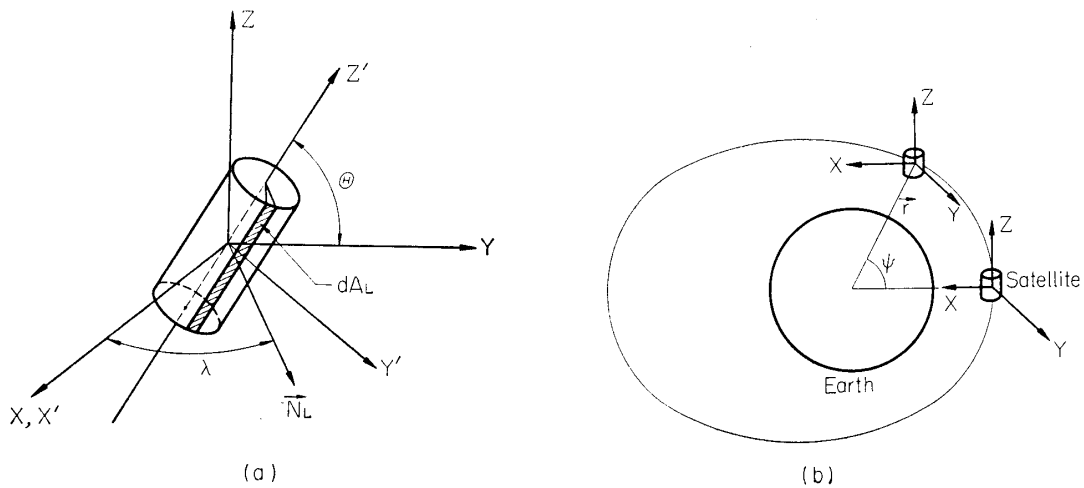


第13図 平板と地球の形態係数

って多数の面要素に分割し、そのおのおのを平板とみなしてこれと地球との形態係数を順次求め、これらの総和を円筒側面の形態係数と近似する。したがって円筒形衛星の形態係数は、上・下両底面を含めて、おのおの特有の傾き角 γ を持った多数の平面と地球との形態係数を求める問題となり、とりもなおさず〔B〕で取扱った問題に帰する。上・下両底面の中心を貫いてスピン軸を持つ表面要素の傾き角を γ_L 、上・下両底面の傾き角をそれぞれ γ_U, γ_B とすると、第14—(a), (b)図を参照して、

$$\left. \begin{aligned} \cos \gamma_L &= \cos \phi \cos \lambda + \sin \phi \cos \Theta \sin \lambda \\ \cos \gamma_U &= \sin \phi \cos \Theta \\ \cos \gamma_B &= -\sin \phi \cos \Theta \end{aligned} \right\} \quad (33)$$

で与えられる。上式で、 Θ, λ は初期条件として、 ϕ は軌道パラメータとして与えられるから(33)式より $\gamma_L, \gamma_U, \gamma_B$ が求められる。得られたおのおのの γ と ϕ の関数として与え



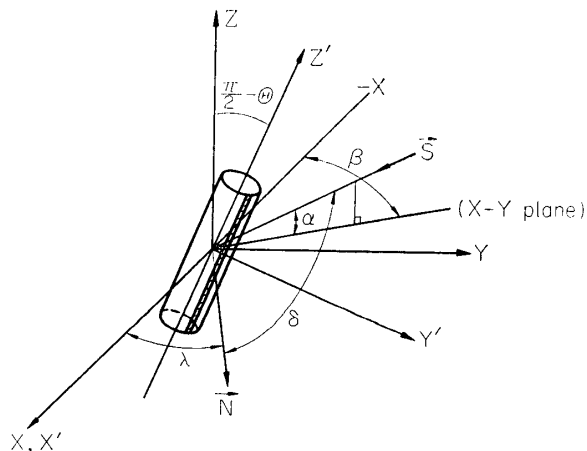
第 14 図 円筒形衛星の姿勢（赤外ふく射、アルビドの計算）（文献 [8] より）

られる γ の値を (31) 式に代入して β_1, β_2 を求め、(32) 式を用いて赤外ふく射における円筒形衛星に対する地球の形態係数が求められる。

太陽ふく射における形態係数を求めるには、赤外ふく射のばあいと同様、円筒形を上、下底面と側面の三つの部分にわけ、側面をさらに多数の平面とみなせる面要素にわけて計算される。これらの平面の法線ベクトルを $\vec{n}_v, \vec{n}_b, \vec{n}_L$ とし、これらと太陽ベクトル S とのなす角を $\theta_{SU}, \theta_{SB}, \theta_{SL}$ とすると第 15 図を参照し、同図内の記号を用いて

$$\left. \begin{aligned} \cos \theta_{SU} &= \cos \theta \cos \alpha \cos \beta - \sin \theta \\ \cos \theta_{SB} &= -\cos \theta \cos \alpha \cos \beta + \sin \theta \sin \alpha \\ \cos \theta_{SL} &= -\cos \alpha \cos \beta \cos \lambda + \cos \alpha \cos \beta \sin \lambda - \sin \alpha \cos \theta \sin \lambda \end{aligned} \right\} \quad (34)$$

と表わされる。上式で求められる θ_s の値を用いて円筒形衛星の $F_s(\theta_s)$ を求めることができる。



第 15 図 円筒形衛星の姿勢（太陽ふく射の計算のための参考図）（文献 [8] より）

〔D〕 別の近似法 [10]

衛星の形状が単純な凸多面体であるときに応用できるもう一つの近似法がある。

地球上任意の高度にある平面を考えるとき ($F_s(\theta_s)$ を考えるときと同じように) 地球から拡散的に入射してくる赤外ふく射やアルビドに対して、その幾何学的面積のうちどれだけの部分が有効に関与しているかを表わす形態係数 (F_V) が求められれば、その平面に単位時間当たりの熱入力 q_R, q_A は

$$\left. \begin{aligned} q_R &= E_{R,s} \cdot A \cdot F_V \\ q_A &= E_{A,s} \cdot A \cdot F_V \end{aligned} \right\} \quad (35)$$

で与えられる。ただし A は平面の表面積、 $E_{R,s}, E_{A,s}$ はそれぞれ衛星の単位表面積当たりの赤外ふく射、アルビドの強さで〔A〕の項で検討された球形衛星の値が用いられる。また F_V は地球から見た衛星の形状を表わすものであるから、(35) 式に示されるごとく q_R, q_A は全く同一の F_V を持つことは明らかである。

F_V の近似値として第 16—(a), (b), (c) 図に示されるごとく衛星の表面上に単位長さの半球を描きこれによって切りとられる面要素 dA (面積 = π) と dA の中心から地球を見たときの立体角を dA 上に投影したときの面積 (dA_f) との比、すなわち

$$F_V = dA_f/dA \quad (36)$$

を用いる。第 16 図からも明らかなように dA の方向と地球との位置関係から (a), (b), (c) の三つの場合が考えられる。同図の記号を用いて、

a) の場合、

$$F_V = x \cdot y \quad (37)$$

ただし

$$x = \cos \xi = r_e/r$$

$$y = x \cdot \cos \chi$$

b) の場合、

$$F_V = \frac{1}{\pi} \left\{ zu + \frac{\pi xy}{2} + xy \sin^{-1} \frac{z}{y} + \frac{1}{2} (\mu - \sin \mu) \right\} \quad (38)$$

c) の場合、

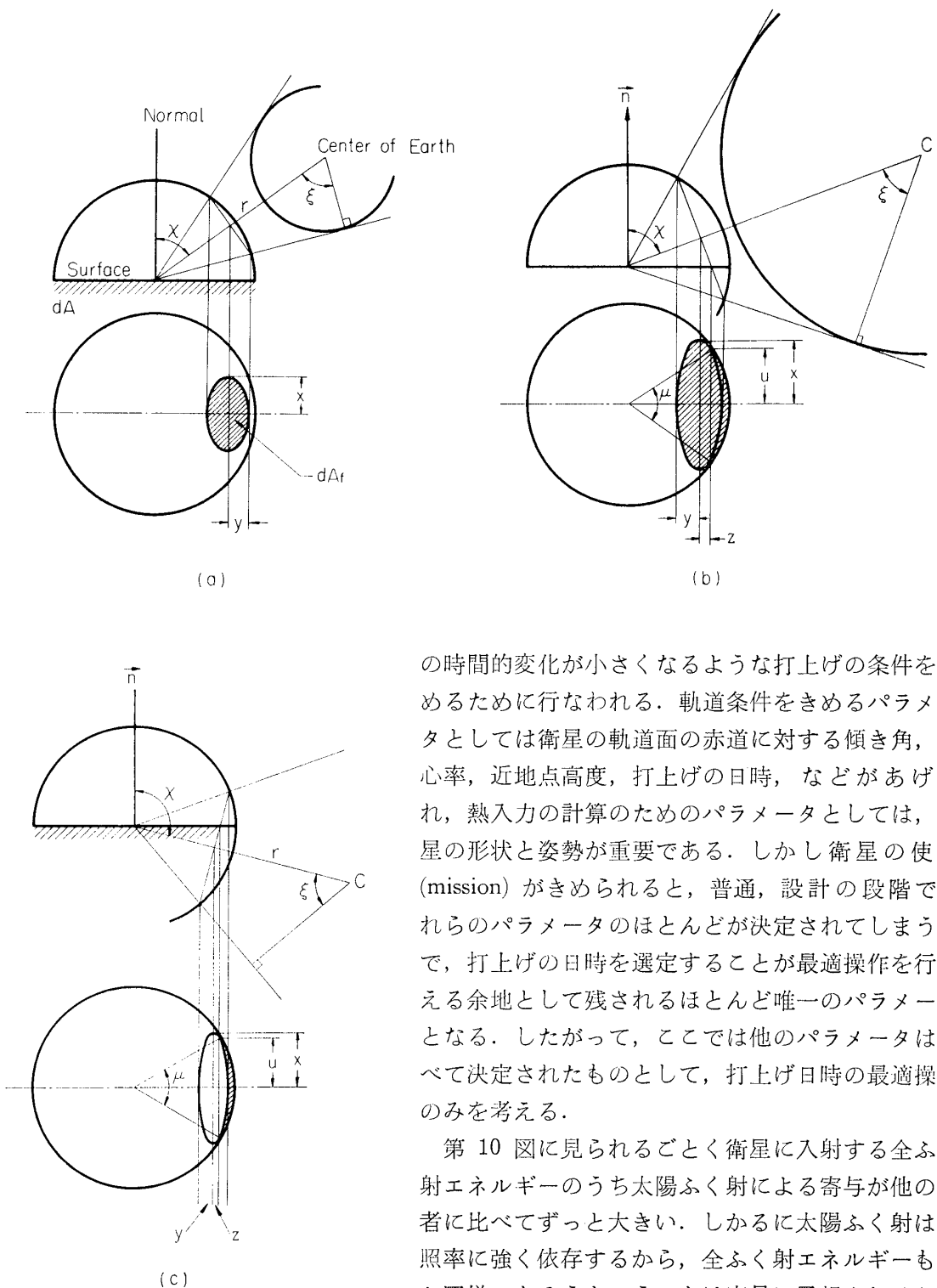
$$F_V = \frac{1}{\pi} \left\{ zu - \frac{\pi xy}{2} + xy \sin^{-1} \frac{z}{y} + \frac{1}{2} (\mu - \sin \mu) \right\} \quad (39)$$

ただし、上式において x, y, z, u , はそれぞれ第 16 図に示されるごとく長さを χ, ξ, μ は角度を表わす。実際の計算では衛星の軌道上の位置、姿勢が与えられれば、 dA の法線が決定されるので F_V は容易に求められる。この近似法を用いて計算された円筒形衛星の F_V の例が、第 17 図に示されている。

その他、衛星の表面に凹部があったり、付属物の陰が落ちる場合の形態係数を検討している文献 [9] もあるが、ここでは説明をはぶく。

4. 最適打上げ日の選定

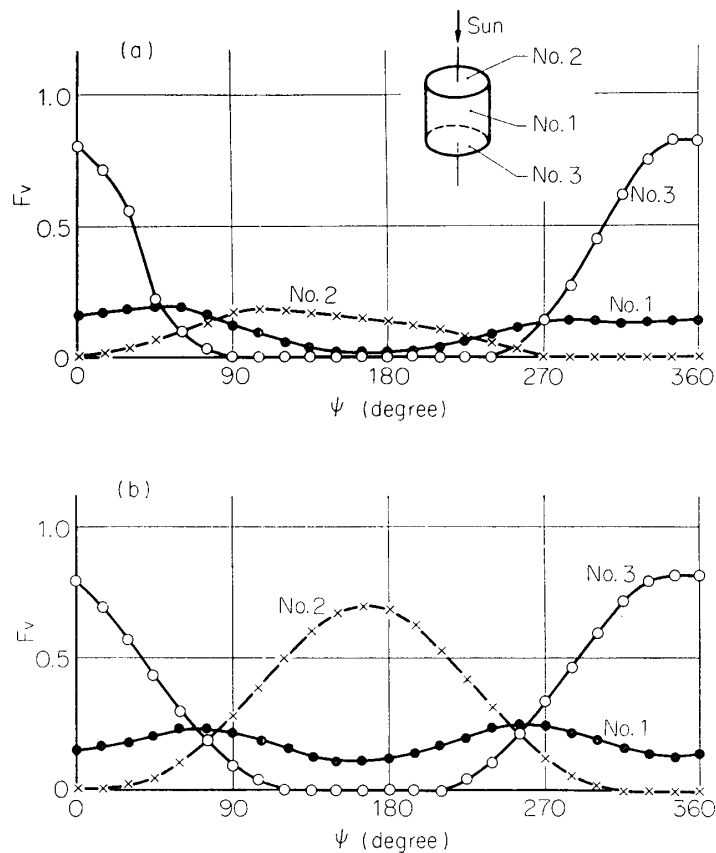
熱的条件から見た最適打上げ計画は、打上げ後長期にわたって (22) 式で表わされる Q_T



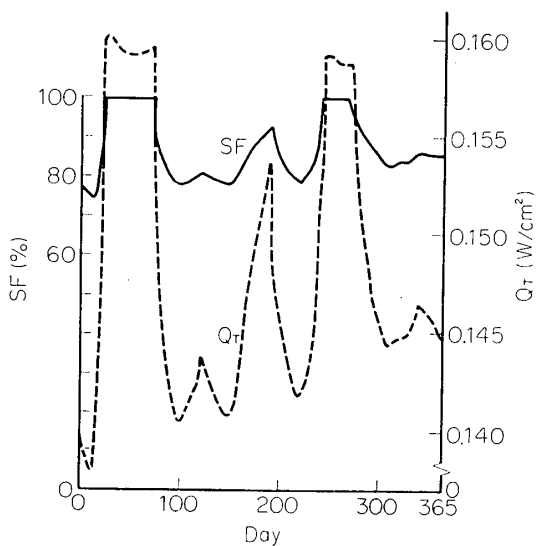
第 16 図 形態係数の近似値を
求めるための参考図

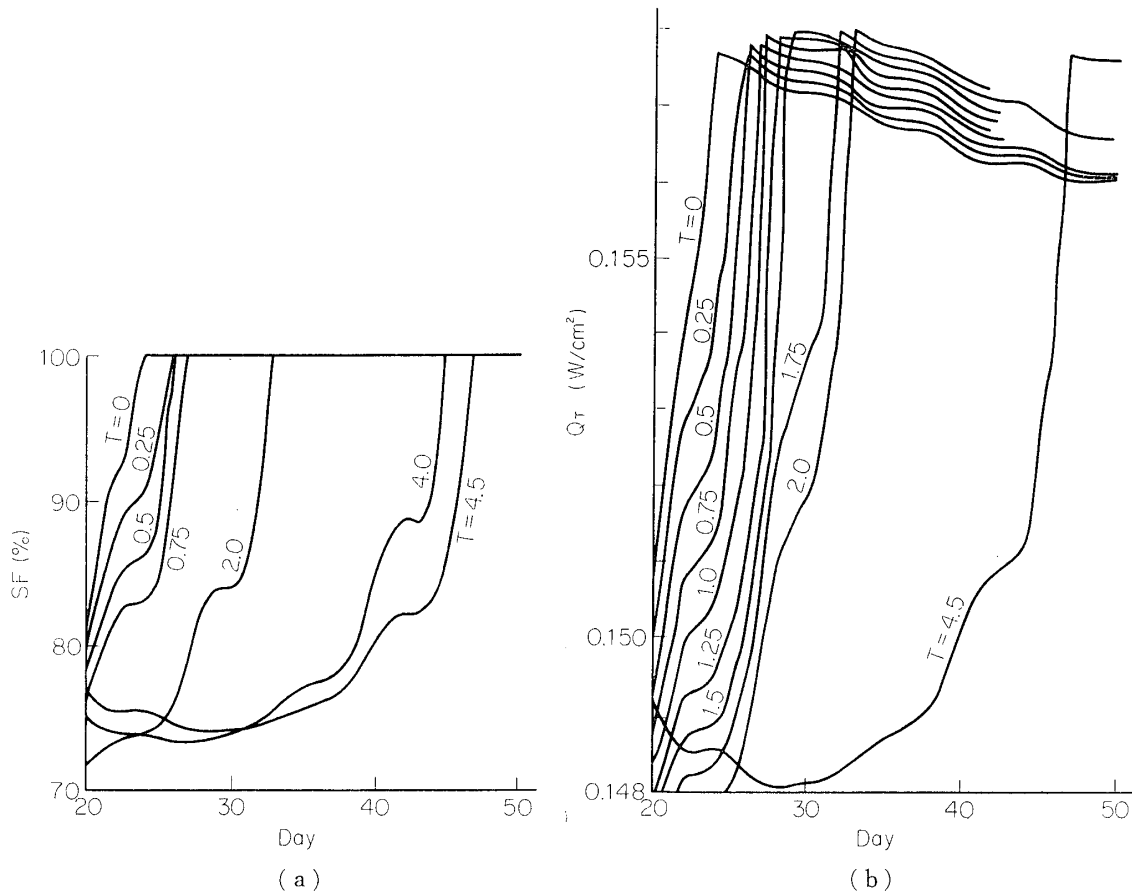
の時間的变化が小さくなるような打上げの条件を求めるために行なわれる。軌道条件をきめるパラメータとしては衛星の軌道面の赤道に対する傾き角、離心率、近地点高度、打上げの日時、などがあげられ、熟入力の計算のためのパラメータとしては、衛星の形状と姿勢が重要である。しかし衛星の使命(mission)がきめられると、普通、設計の段階でそれらのパラメータのほとんどが決定されてしまうので、打上げの日時を選定することが最適操作を行なえる余地として残されるほとんど唯一のパラメータとなる。したがって、ここでは他のパラメータはすべて決定されたものとして、打上げ日時の最適操作のみを考える。

第 10 図に見られるごとく衛星に入射する全ふく射エネルギーのうち太陽ふく射による寄与が他の二者に比べてずっと大きい。しかるに太陽ふく射は日照率に強く依存するから、全ふく射エネルギーもまた同様であろうということは容易に予想されるが、第 18 図は実際にその様子を示している。第 19—(a), (b)図は、 Q_T が SF と同様、打上げ時刻 (T)



第17図 円筒形衛星の形態係数(春分、正午打上げ)

(a) $h_P = 500 \text{ km}$, $h_A = 10,000 \text{ km}$ (b) $h_P = 500 \text{ "}$, $h_A = 1,000 \text{ "}$ 第18図 日照率と全入射ふく射束の1年間に亘る分布図(春分、正午打上げ, $h_P = 500 \text{ km}$, $h_A = 10,000 \text{ km}$)



第 19 図 日照率と全入射束の分布の打上げ時刻による変化 (春分, 午前 9 時打上げ)
 $h_P=500 \text{ km}$, $h_A=10,000 \text{ km}$

と打上げ後経過した日数 (DAY) の関数であることを示している。

いま, ある時刻 T に打上げられた衛星が打上げ後 D_1 日目に Q_T が最大, D_2 日目に最小になったとする。このとき,

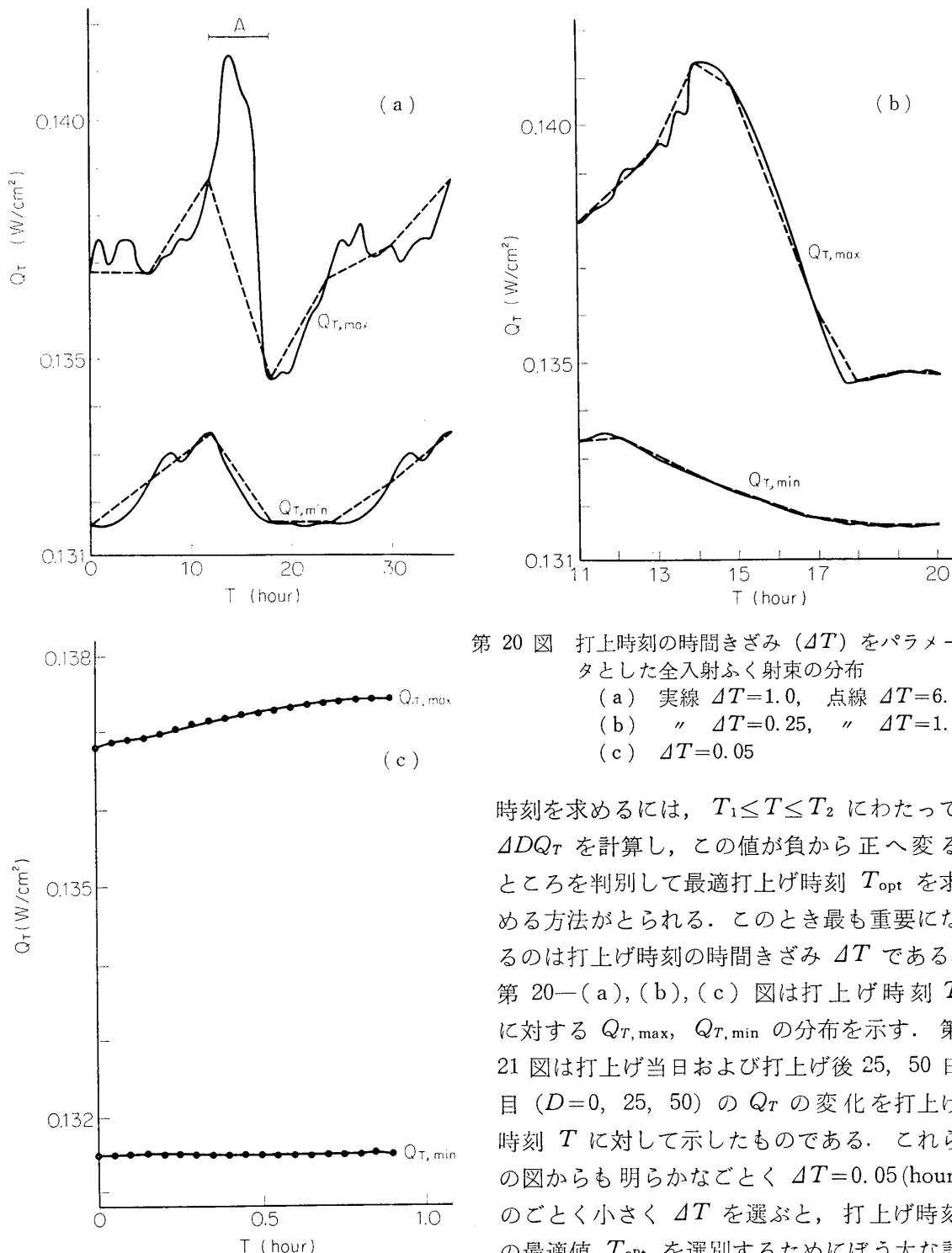
$$DQ_T(T) = Q_T(T, D_1) - Q_T(T, D_2) \quad (40)$$

とおいて新しい関数 DQ_T を考える。打上げ後何日目に Q_T が最大あるいは最小値をとるかということが問題にならないばあいは DQ_T は打上げ時刻のみの関数となるから, DQ_T が目的関数, 打上げ時刻 T が制御パラメータ, 打上げ操作のできる時間的余裕 ($T_1 \leq T \leq T_2$) が抱束条件であるような最も単純な形の最適操作の問題になる。いまのはあい, DQ_T の値が解析的にではなく数値的にしか与えられないところに困難さがある。

ある打上げ時刻 T とそれより ΔT 時間だけ遅れて打上られた衛星の DQ_T 値をそれぞれ $DQ_T(T)$, $DQ_T(T + \Delta T)$ とし, さらに,

$$\Delta DQ_T(T) = \frac{DQ_T(T + \Delta T) - DQ_T(T)}{\Delta T} \quad (41)$$

を作ると, 明らかに ΔDQ_T は DQ_T 曲線の二点間のこう配を表わす。したがって最適打上



第20図 打上時刻の時間きざみ (ΔT) をパラメータとした全入射ふく射束の分布
 (a) 実線 $\Delta T=1.0$, 点線 $\Delta T=6.0$
 (b) " $\Delta T=0.25$, " $\Delta T=1.0$
 (c) $\Delta T=0.05$

時刻を求めるには、 $T_1 \leq T \leq T_2$ にわたって $\Delta D Q_T$ を計算し、この値が負から正へ変るところを判別して最適打上げ時刻 T_{opt} を求める方法がとられる。このとき最も重要なのは打上げ時刻の時間きざみ ΔT である。第20—(a), (b), (c) 図は打上げ時刻 T に対する $Q_{T,\max}$, $Q_{T,\min}$ の分布を示す。第21図は打上げ当日および打上げ後 25, 50 日目 ($D=0, 25, 50$) の Q_T の変化を打上げ時刻 T に対して示したものである。これらの図からも明らかに $\Delta T=0.05$ (hour) のごとく小さく ΔT を選ぶと、打上げ時刻の最適値 T_{opt} を選別するためにはう大な計算時間を要し、現実に有効な手段にはなり得ないし、逆に $\Delta T=6.0$ のごとく大きく選ぶとたとえば第20—(a) 図において A 部の Q_T の極大値が全く看過されてしまう。というようく最適操作が不完全になるおそれがある。

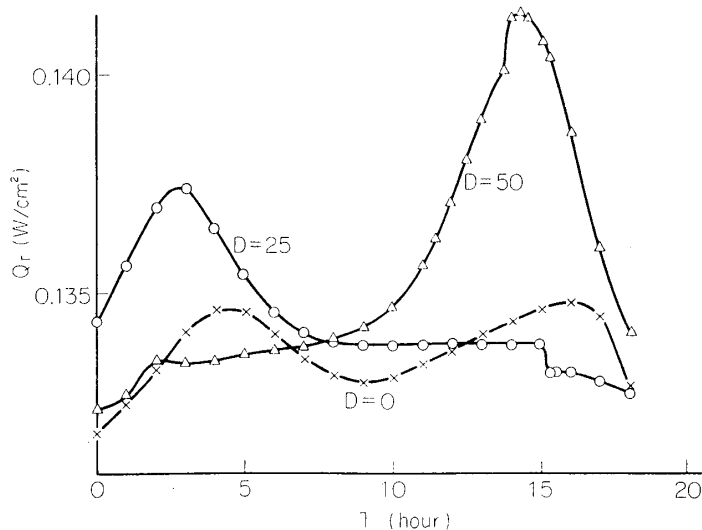
算時間を使い、現実に有効な手段にはなり得ないし、逆に $\Delta T=6.0$ のごとく大きく選ぶとたとえば第20—(a) 図において A 部の Q_T の極大値が全く看過されてしまう。というようく最適操作が不完全になるおそれが生じる。

ここで再び第 22—(a), (b), (c), (d) 図に示されるごとく Q_T と SF , DQ_T と DSF の分布の類似性に着目して以下のような計算過程で打上げの最適時刻 T_{opt} を選別する方法が試みられた。

(i) ある初期条件で打上げられた衛星の Q_T の第零近似値, Q_T^0 として SF を用いる。すなわち,

$$Q_T^0 = C \cdot SF \quad (42)$$

とおき, $DSF (= DQ_T^0)$ についてさきに述べた最適操作を行ない, T_{opt} の第零近似値, T_{opt}^0



第 21 図 打上げ後経過した日数と打上げ時刻による全入射
ふく射束の分布 ($h_P=500$ km, $h_A=1,000$ km)

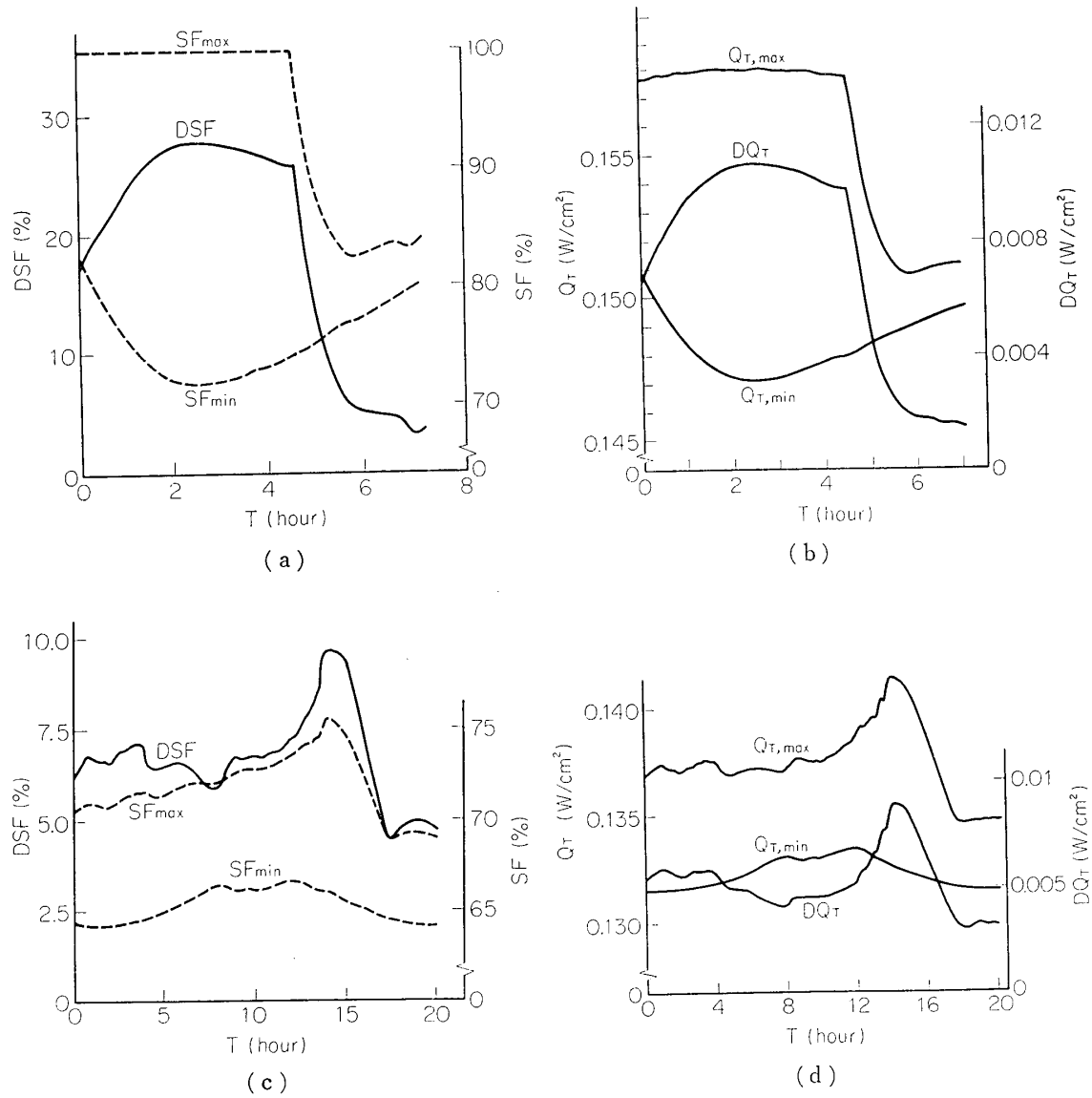
を求める。ただし、(42) 式において C は比例定数であるが T_{opt} を求めるに当っては Q_T の相対的な大きさのみが問題になるから、 $C=1$ とおいてよい。 T_{opt}^0 を求めるに当っては ΔT^0 は比較的大きくとってよく今までの結果から判断して $\Delta T^0=2\sim6$ 程度で十分であろう。

(ii) T_{opt}^0 の近傍に T_{opt}^1 があることを予想して

$$T^1 < T_{\text{opt}}^0 < T^2$$

を満足する適当な時刻 T_1^1 , T_2^1 を設定し、これらの時間幅 $\Delta T_{\text{max}}^1 = (T_2^1 - T_1^1)$ にわたって ΔT^1 を適当に小さく選んで DQ_T^1 の最適操作を行ない、 T_{opt}^1 (第一次近似) を求める。以下同様にして T_{opt}^1 の近傍にさらにせまい ΔT_{max}^2 を設け、 ΔT^1 よりも小さい ΔT^2 を用いて T_{opt}^2 を求める。という具合にして T_{opt} に近い値を求める。なお、衛星の寿命中、常に $SF=1$ のような打上げ条件のばあいは直接 (ii) の計算を行なう。

この論文で実際に使用された計算プログラムは (41) 式で示される ΔDQ_T の値を求めないで直接の大小を比較して T_{opt} を選定するように作られた。簡単なフローチャートを第 23 図に、プログラムの一部を補遺に示す。

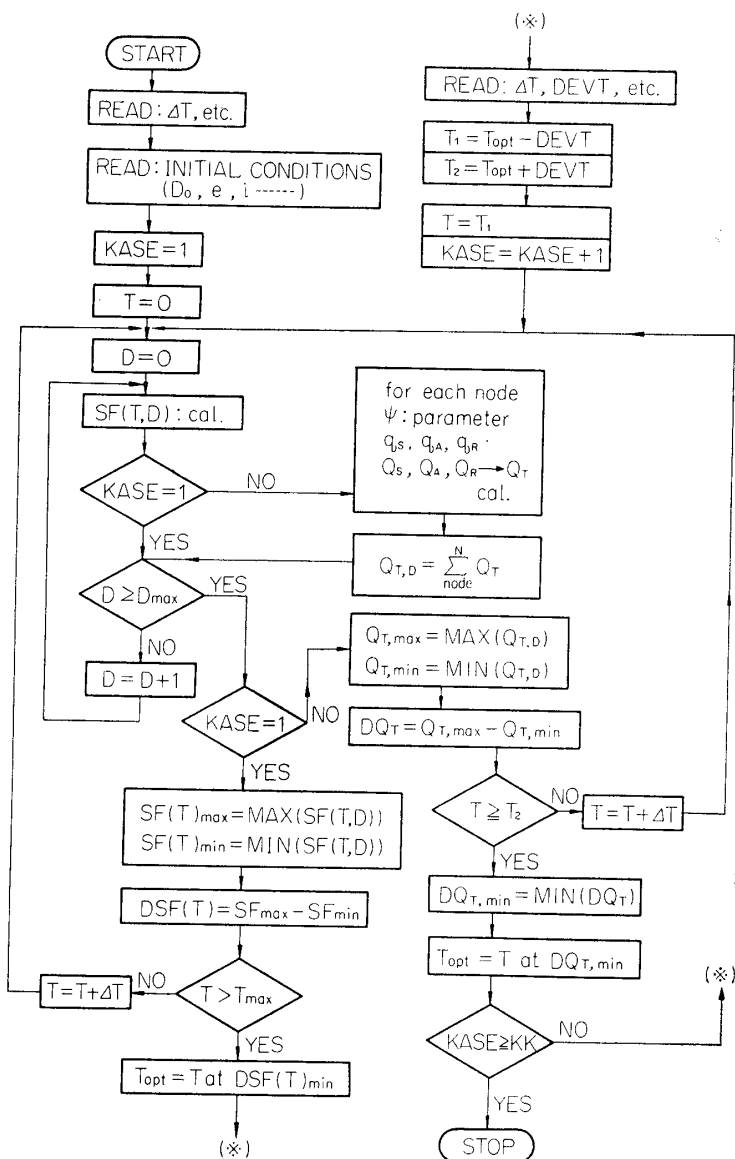


第22図 50日間にわたる日照率と全入射ふく射束の分布

- | | | | |
|-----|------------------------|---------------------------|---------|
| (a) | $h_P = 500 \text{ km}$ | $h_A = 10,000 \text{ km}$ | 日照率 |
| (b) | " | " | 全入射ふく射束 |
| (c) | $h_P = 500 \text{ km}$ | $h_A = 1,000 \text{ km}$ | 日照率 |
| (d) | " | " | 全入射ふく射束 |

T_{opt} を決定する計算例の一つを示す。

	軌道[1]	軌道[2]
衛星の形状	球形	"
近地点高度	500 km	"
遠地点高度	3,000 km,	1,000 km
離心率	0.15380,	0.049102



第 23 図 フローチャート

最初の近地点位置	(28° north, 150° east)	"
軌道の傾き角	31.5°	"
打上げ許容日時	1970 年 8 月中 (30 日間)	"
衛星の寿命	100 日間	"
計算パラメータとしては		

$$\Delta T^0 = 6.0$$

$$\Delta T^1 = 0.5$$

$$T^1, T^2 = T^{\circ}_{\text{opt}} \text{ (hour)}$$

を与えて T^1_{opt} を計算した。計算時間は HITAC-5020 で各軌道とも約 1 時間であった。

結果は、軌道〔1〕のばあいは 8 月 1 日午後 7 時 30 分に、軌道〔2〕のばあいは、8 月 3 日午後 3 時 0 分に最初に近地点に達するように打上げ時刻を選ぶことが最適であった。このとき、衛星が 100 日間の寿命の間で受ける入射エネルギーの時間的変動の最大値は最悪の打上時刻に打上げられた衛星が受けるそれらの $^{1/5}$ から $^{1/7}$ であった。

5. 結 語

ダ円軌道上を飛行中の衛星に入射する熱ふく射エネルギーを求める計算法と、その結果をもとにして外界から入射する熱入力の時間的変動が衛星に与える効果という熱的条件より見た衛星の最適打上げ計画（ここではもっぱら打上げ日時の選定）を行なう方法について、その大筋が述べられた。

前半の入射エネルギーを求める計算法に他の文献に示されているところを利用した部分的が多いが、用いられ近似値がどの程度であるかという検討は、ここでは全く行なわれていない。また最適打上げ時刻を選定する計算過程は他と比較できるような文献が筆者の手元にないでの程度信頼できるものであるか評価されていない。これらの二点が今後の課題として残されている。

実際の計算は現行の大型計算機の力を借りても、かなりの時間を要する性質のものであるため計算過程で用いられる ΔT や ΔT_{\max} , T^1 , T^2 , の選び方については十分な考察が必要である。これについては目下検討中である。

1970 年 6 月 1 日 航空力学部

参 考 文 献

- [1] W. S. Snoddy, "Calculations Concerning the Passage of a Satellite Through the Earth's Shadow" NASA MTP-RP-61-1 (1961)
- [2] H. G. L. Krause, "The Secular and Periodic Perturbations of the Orbit of an Artificial Earth Satellite" paper presented at the VII International Astronautical Federation Meeting, Rome, 17—22 Sept. (1956)
- [3] E. M. Sparrow & R. D. Cess "Radiation Heat Transfer" Brooks/Cobe Publishing Company 1967.
- [4] F. G. Cunningham, "Earth Reflected Solar Radiation Input to Spherical Satellites" NASA TND-1099 (1961)
- [5] F. G. Cunningham, "Earth-Reflected Solar Radiation Incident upon Spherical Satellites in General Elliptical Orbits", NASA TND-1472 (1963)
- [6] H. L. Finch, D. Sommerville, R. Vogt and D. Bland "A Computer Program for Calculating External Thermal-Radiation Heat Loads and Temperatures of Spacecraft Orbiting the Planets or the Moon" NASA TR R-278 (1968)
- [7] J. C. Bannister, "Radiation Geometry Factor Between the Earth and a Satellite" NASA TND-2750 (1965)
- [8] 下地貞夫, 足立恭子, 「地球を周る人工衛星に対する熱入射の計算」三菱電機研究報告 45 年 3 月.

- [9] J. Doenecke, "Thermal Radiations Absorbed by a Partially Obscured Spacecraft" *Astronautica Acta*, Vol. 15, pp. 107—117 (1969)
- [10] G. A. McCue & S. I. Feher: Optinurn Thermal Design Through Computer Simulation of a Space, Vehicle Structure in Earth Orbit, ASME paper 66-WA-HT-44.

補 遺

この論文で用いられたプログラムの一部を紹介する。これは HITAC-5020 用に FORTRAN-4 で書かれており、前半部が SF の計算、後半部が球形衛星に入射する熱ふく射エネルギーの計算である。

入力データ

- 1) KK: KASE の回数

[例] KK=1(KASE=1)…… $DQ^0_T (=DSF)$, T_{opt}^0 の計算
 KK=2(“ =2)…… DQ^1_T , T_{opt}^1 “
 KK=3(“ =3)…… DQ^2_T , T_{opt}^2 “
 : :

- 2) ATM: 打上げの時間きざみ ΔT (hour)
- 3) DEVT: 打上げを試みる時間幅の 1/2
 [例] $\Delta T_{\text{max}}^2 = T_2^1 - T_1^1 = (T_{\text{opt}}^0 + \text{DEVT}) - (T_{\text{opt}}^1 - \text{DEVT})$
- 4) TO: 衛星が打上げ後最初に近地点に達する時の世界時 (hour)
- 5) DO: 春分の日から何日後に打上げたか (day)
- 6) ECC: 衛星の軌道の離心率
- 7) DLON: 最初の近地点の経度 (°East)
- 8) DLAT: 最初の近地点の緯度 (°North)
- 9) DINC: 軌道の赤道面に対する傾き角 (degree)
- 10) RP: 地球の中心と近地点とのきより (km)
- 11) S: 近地点における衛星の速度の北向きの成分 +1 or -1
- 12) RO: 地球の平均半径
- 13) DEPS: 地軸と地球の公転面の法線とのなす角 (degree)
- 14) TMAX: 衛星の寿命 (days)
- 15) DJ: 打上げ後の Q_T 計算のきざみ.
- 16) YEAR: 打上げ年度

を与える。たとえば本文の計算例の場合には入力データとして表 1 のような値を与えればよい。(データカードの順序は (a), (b), (c) の順である。)

出力データ

- 1) PERIOD : 人工衛星の周期(時間)
- 2) LAUNCH : 打上げの試みの回数
- 3) T : 打上げ時刻 T
- 4) DAYMAX : 打上げ後 (DAYMAX) 日目に SF あるいは Q_T が最大値をとる。
- 5) SFMAX : その最大値, $(SF)_{\text{max}} = (Q^0_T)_{\text{max}}$

- 6) DAYMIN : (DAYMIN) 日目に SF あるいは Q_T が最小値をとる.
 7) SFMIN : $(SF)_{\min} = (Q^0 T)_{\min}$
 8) DSF : $DSF = (SF)_{\max} - (SF)_{\min} = DQ^0 T$
 9) TOPTO : T^0_{opt}
 10) TXMIN : $DQ^0 T (= DSF)$ の最小値
 11) QMAX : $Q_{T,\max}$ の値
 12) QMIN : $Q_{T,\min}$ の値
 13) DQDT : $DQ_T (= Q_{T,\max} - Q_{T,\min})$ の値
 14) DQMI : DQ_T の最小値

表 1

	軌道〔1〕	軌道〔2〕			軌道〔1〕	軌道〔2〕	
1) KK	2	2			10) S	-1.	-1.
2) ATM	6.0	6.0	{ (a)		11) RO	6378.	6378.
3) TO	0.0	0.0			12) DEPS	23.45	23.45
4) DO	133.	133.			13) TMAX	100.	100.
5) ECC	0.15380	0.049102			14) DJ	1.	1.
6) DLON	150.	150.			15) YEAR	1970.	1970.
7) DLAT	28.	28.			16) ATM	0.25	0.25
8) DINC	31.5	31.5	{ (b)		17) DEVT	4.0	4.0
9) RP	6878.	6878.					{ (c)

```

DIMENSION DTX(400),DTIX(400),G(40),H(1500),UMTQ(10)
DATA DEGRAD/.124538982/,RADDEG/57.295780/,AK2/2.2088+4/,AK4/1.58057E+9/,R0/5376./
DATA S/14359265/,AK2/2.2088+4/,AK4/1.58057E+9/,R0/5376./
DATA U/347.,SUNZ/1.47.,KASE/1/
READ(5,509)KK,TMAX,X,ATH
READ(5,502)T0,D0,ECC,DLON,DLAT,DINC,RP,S,DEPS,TMAX,DJ,YEAR
WRITE(6,101)KASE
WRITE(6,102)
WRITE(6,103)T0,D0,ECC,DLON,DLAT,DINC,RP,S,R0,DEPS,TMAX,DJ,YEAR
WRITE(6,511)KK,TMAX,X,ATH
PEAK1=(RP/(1.-ECC))**1.25
WRITE(6,99)P
JE
IF(KASE.NE.1)GO TO 10
WRITE(6,504)
WRITE(6,505)
T=.
I=1
EPS=DEPS*DEGRAD
KNTRL=1
ALON=DLON*DEGRAD
ALAT=DLAT*DEGRAD
AINC=DINC*DEGRAD
Y=COS(AINC)/COS(ALAT)
ZEARSIN(Y)
Z=POS(Z)
IF(S.GT.0.) GO TO 8
Z=-1-Z
8 TANL=SIN(ALAT)/COS(ALAT)
COSZ=COS(PI-Z)
TEMP=ATAN2(TANL,COSZ)
W0=PI-TEMP
W0=POS(W0)
10 U=DO+T+10/24.
TEMP=90.*YEAR
11 IF(TEMP.LT.360.) GO TO 20
TEMP=TEMP-360.
GO TO 18
12 AK=282.6-TEMP/360.
ALOD=.9856*(U+77.)+1.9481*SIN(.9856*(U+77.))+.0207*SIN(1.9712*
1(U+77.))-360.+AK8
ALCR=ALOD*DEGRAD
ALCR=POS(ALCR)
ALPHA=ATAN2(COS(EPS)*SIN(ALCR),COS(ALCR))
ALPHA=POS(ALPHA)
ALPHI=ALPHA*RADDEG
13 IF(KNTRL.NE.1) GO TO 31
20 H0=U+DLON/15.+.9856*(U+T0/24.-ALPH0)/15.-.099-.066*TEMP/360.
SIGMD=(15.*((H0-6.)*
SIGMA=SIGMD*DEGRAD
SIGMA=POS(SIGMA)
30 OMO0=ATAN2(-SIN(ALAT),COS(Z)/SIN(Z))
OMO0=POS(OMO0)
OMEO=OMO0+ALPHA+SIGMA-PI/2.
OMEO=POS(OMEO)
35 PB=RP*(1.+ECC)
OMODT=(-48.*PI/P)*COS(AINC)*(3.*AK2/PB**2+(10.*AK4/PB**4)*(1.+1.5*ECC**2)*(1.-1.75*SIN(ATNC)**2))
36
W0T=(48.*PI/P)*(3.*AK2/PB**2*(1.-1.5*SIN(AINC)**2)+1C,*
1AK2/PB**4*(1.+.75*ECC**2)*(1.-5.*SIN(AINC)**2+35./8.*SIN(AINC)**2)-OMODT*COS(AINC))
37 Y=SIN(EPS)*SIN(ALCR)
GAMMA=FARSIN(Y)
GAMMA=POS(GAMMA)
OMEGA=OMEO+OMODT*T
OMEGA=POS(OMEGA)
38 W=W0+WDT*T
W=POS(W)
40 AOP=ALPHA-OMEGA-PI/2.
AOP=POS(AOP)
41 Y=-COS(AINC)*SIN(GAMMA)+SIN(AINC)*COS(GAMMA)*COS(AOP)
ZP=PI/2.-ARSIN(Y)
42 Y=SIN(AINC)*SIN(AOP)/SIN(ZP)

```

```

      BEARSINY)
      B=POS(B)
      Y=COS(B)*COS(AOP)+SIN(B)*SIN(AOP)*SIN(GAMMA) 70
      TPHI=PI/2.-AR SIN(Y) 71
      IF(AOP.LT.PI), GO TO 41 72
      TPHI=2.*PI-TPHI 73
      41 PHI=TPHI-W 74
      PHI=POS(PHI) 75
      42 Y=COS(AINC)*COS(EPS)+SIN(AINC)*SIN(EPS)*COS(OMEGA) 76
      AJ=PI/2.-AR SIN(Y) 77
      Y=SIN(EPS)*SIN(OMEGA)/SIN(AJ) 78
      E0=AR SIN(Y) 79
      E0=POS(E0) 80
      SD=SIN(OMEGA)*SIN(AINC)/SIN(AJ) 81
      COS(E0)=COS(OMEGA)-SIN(E0)*SIN(OMEGA)*COS(AINC) 82
      OMS=ATAN2(SOM, COM) 83
      AS=ATAN2(ARG*SIN(ALCR-OMS), COS(ALCR-OMS))+AR SIN(SIN(EPS)*
      1 SIN(OMEGA)/SIN(AJ)) 84
      AS=POS(AS) 85
      THIS SECTION SOLVES FOR X1 AND X2 BY ITERATION. 86
      ITER=1 87
      ISTEP=1 88
      X=.17453293 89
      UX=.17453293 90
      A1=EROZ(RP*(1.+ECC)) 91
      A2=1.-SIN(AJ)*#2*SIN(OMS-ALCR)**2 92
      48 VNU=PHI-X 93
      IF(ITER.EQ.2) VNU=PHI+PI+X 94
      TEMP1=SIN(X) 95
      TEMP2=SQR((1.-(A1*(1.+ECC*COS(VNU)))**2)/A2) 96
      IF(TEMP2-TEMP1.LT.0.) GO TO 50,(51,52,55),ISTEP,1 97
      IF(X.GE.PI/2.) GO TO 53 98
      X=X+DX 99
      GO TO 48 100
      50 DX=.017453293 101
      X=X-.17453293+DX 102
      ISTEP=2 103
      GO TO 48 104
      51 UX=.017453293 105
      X=X-.017453293+DX 106
      ISTEP=3 107
      GO TO 48 108
      52 UX=.0001745329 109
      53 X=X-.0017453293+DX 110
      ISTEP=4 111
      GO TO 48 112
      53 X1=PI/2. 113
      X2=PI/2. 114
      GO TO 60 115
      55 IF(ITER.EQ.2) GO TO 56 116
      X1=X-DX/2. 117
      X=.17453293 118
      DX=.17453293 119
      ITER=2 120
      ISTEP=1 121
      GO TO 48 122
      56 X2=X-DX/2. 123
      60 CONTINUE 124
      V1=PHI-X1 125
      V1=POS(V1) 126
      64 V2=PHI+PI*X2 127
      V2=POS(V2) 128
      66 ARG=SQRT((1.-ECC)/(1.+ECC)) 129
      E1=2.*ATAN2(ARG*SIN(V1/2.), COS(V1/2.)) 130
      E1=POS(E1) 131
      E2=2.*ATAN2(ARG*SIN(V2/2.), COS(V2/2.)) 132
      E2=POS(E2) 133
      AM1=E1-ECC*SIN(E1) 134
      AM2=E2-ECC*SIN(E2) 135

```

```

1 IF((ABS(AM1-AM2)>GT,.001)) GO TO 70
2 TX=100.
3 GO TO 72
4 IF(AM1.GT.AM2) GO TO 71
5 TX=((AM2-AM1)/(2.*PI))*100.
6 GO TO 72
7 TX=((AM2-AM1+2.*PI)/(2.*PI))*100.
8 EP=2.*ALAN2(ARG*SIN(W/2.),COS(W/2.))
9 EP=POS(EP)
10 TP=(30.*P/PI)*(EP-FCC*SIN(EP))
11 TI=TI+(GU.*P/PI)*AM2
12 IF(TI.GE.P*60.) TI=TI-P*60.
13 TEF=TP*(30.*P/PI)*AM1
14 IF(TE.GE.P*60.) TE=TE-P*60.
15 PS=ASTW
16 PS=POS(PS)
17 Y=SIN(AJ)*SIN(OMS-ALCR)
18 DELTA=ARSIN(Y)
19 ALATP=ARSIN(SIN(ALNC)*SIN(W))
20 C
21 C
22 C
23 C
24 C
25 C
26 C
27 C
28 C
29 C
30 C
31 C
32 C
33 C
34 C
35 C
36 C
37 C
38 C
39 C
40 C
41 C
42 C
43 C
44 C
45 C
46 C
47 C
48 C
49 C
50 C
51 C
52 C
53 C
54 C
55 C
56 C
57 C
58 C
59 C
60 C
61 C
62 C
63 C
64 C
65 C
66 C
67 C
68 C
69 C
70 C
71 C
72 C
73 C
74 C
75 C
76 C
77 C
78 C
79 C
80 C
81 C
82 C
83 C
84 C
85 C
86 C
87 C
88 C
89 C
90 C
91 C
92 C
93 C
94 C
95 C
96 C
97 C
98 C
99 C
100 C
101 C
102 C
103 C
104 C
105 C
106 C
107 C
108 C
109 C
110 C
111 C
112 C
113 C
114 C
115 C
116 C
117 C
118 C
119 C
120 C
121 C
122 C
123 C
124 C
125 C
126 C
127 C
128 C
129 C
130 C
131 C
132 C
133 C
134 C
135 C
136 C
137 C
138 C
139 C
140 C
141 C
142 C
143 C
144 C
145 C
146 C
147 C
148 C
149 C
150 C
151 C
152 C
153 C
154 C
155 C
156 C
157 C
158 C
159 C
160 C
161 C
162 C
163 C
164 C
165 C
166 C
167 C
168 C
169 C
170 C
171 C
172 C
173 C
174 C
175 C
176 C
177 C
178 C
179 C
180 C
181 C
182 C
183 C
184 C
185 C
186 C
187 C
188 C
189 C
190 C
191 C
192 C
193 C
194 C
195 C
196 C
197 C
198 C
199 C
200 C
201 C
202 C
203 C
204 C
205 C
206 C
207 C
208 C
209 C
210 C
211 C
212 C
213 C
214 C
215 C
216 C
217 C
218 C
219 C
220 C
221 C
222 C
223 C

```

```

ABC=SQRT((1.-ECC)/(1.+ECC)) 224
EL=2.*ATAN(TAN(FPSL)*ABC) 225
EL=POS(EL) 226
ES=2.*ATAN(TAN(FPSS)*ABC) 227
801 ES=POS(ES) 228
800 SMA=RP/((1.-ECC)*R0) 229
DE=SMA*(1.-ECC*COS(EL)) 230
FOG=2.*((1.-SQRT(1.-(1./D)**2)) 231
IF(EL.GE.ES) GO TO 80 232
EL=EL+6.2831853 233
88 DT=(0.5*PI)*(EL*TECO*(SIN(EL)-SIN(ES)))*3600. 234
SUMDT=SUMDT+DT 235
CALL FPSE(DELTA,PS,SMA,ECC,JF,PSE) 236
ER=SUN*(1.-R)*FOG/4. 237
QA=PSE*DT 238
QR=ER*DT 239
SUMQA=SUMQA+QA 240
241

SUNGK=SUNOR+QR 242
1999 IF((JF-360).GE.0) GO TO 302 243
JF=JF+15 244
GO TO 201 245
302 SUMQS=SUN*TX*P. 246
SUMGTE=SUMQS*(SUMQA+SUNGK)/SUMUL 247
94 Q(J)=SUMQT 248
IF(LT.GE.THAX).OR.(KNTREL.GE.367)) GO TO 74 249
999 TX=TJ 250
998 JF=JF+1 251
KNTRL=KNTRL+1 252
GO TO 10 253
74 IMAF=1 254
IMI=1 255
QMAX=Q(1) 256
QMIN=Q(1) 257
DO 2000 IJ=1,T 258
IF(QMAX.GT.Q(IJ)) GO TO 2001 259
QMAX=Q(IJ) 260
IMAF=IJ 261
2001 IF(QMIN.LT.Q(IJ)) GO TO 2000 262
QMIN=Q(IJ) 263
IMI=IJ 264
2000 CONTINUE 265
95 DQI=QMAX-QMIN 266
DQ(IJ)=DQI 267
WRITE(6,114) TO 268
WRITE(6,112) 269
WRITE(6,113) QMAX,QMIN,DQI 270
WRITE(6,499) TMA,IMI 271
96 IF(TD.GE.TOMAX) GO TO 95 272
TO=TD+ATM 273
JF=JF+1 274
GO TO 4 275
96 DQMA=DQ(1) 276
DQMI=DQ(IJ) 277
JM1=1 278
JMAF=1 279
DO 1000 IJ=1,J 280
IF(DQMA.GT.DQ(IJ)) GO TO 1000 281
DQMA=DQ(IJ) 282
JMA=IJ 283
1001 IF(DQMI.LT.DQ(IJ)) GO TO 1000 284
DQMI=DQ(IJ) 285
JM1=TJ 286
1000 CONTINUE 287
TOPT=FLOAT(JM1-1)*ATM+DQI*TOKASE 288
TO=TOPT-DEVT 289
DQI=TOPT*DEVT 290
WRITE(6,501) TOPT,DQMI 291
3000 IF(KASE.GE.KK) GO TO 3001 292

```

```

      READ(5,210)ATM,DEVT
      KASE=KASE+1
      D1H0(KASE)=T0
      GO TO 3
  99 FORMAT(1H0,1X,6HPERIOD,E15.7)
101 FORMAT(1H1,26HSHADOW CALCULATIONS - CASE ,15)
102 FORMAT(1H0,18HINITIAL CONDITIONS)
103 FORMAT(1H0,1X,6HTD0 ,E15.7,2X,6HDO ,E15.7,2X,SHECC ,E15.7,
1X,6HLON ,E15.7,2X,6HLAT ,E15.7,2X,6HINC ,E15.7,2X,6HRP
,2,E15.7,2X,6HS ,E15.7,2X,6HRO ,E15.7,2X,6HEPS ,E15.7,
3/2,6HTMAX ,E15.7,2X,6HTDAY ,E15.7,2X,6HYEAR ,E15.7)
112 FORMAT(1H ,5X,4H0QMIN,11X,4H0QMIN,11X,4H0QDT)
113 FORMAT(1H ,5X,3E15.7)
114 FORMAT(1H ,2H=,F8.3)
499 FORMAT(1H ,5X,7HDAYMAX=,15,3X,7HDAYMIN=,15)
501 FORMAT(1H0,1HTOPT= ,E15.7,5X,10H0QMI= ,E15.7)
504 FORMAT(1H0,6H1AUNCH,6X,2HT0,14X,6HDAYMAX,4X,5HSFMAX,10X,6HDAYMIN,
14X,5HSFMIN,12X,3HDSF)
505 FORMAT(1H0)
509 FORMAT(16,2F8.0)
510 FORMAT(2F8.0)
511 FORMAT(1H,3X,2HKK,17,14X,5HTOMAX,1X,E15.7,2X,3HATM,3X,E15.7)
700 FORMAT(6F12.0,2F6.0)
1885 FORMAT(1H0,6HTOPT ,E15.7,5X,6HTXMIN ,E15.7)
1993 FORMAT(1H ,18,2X,E15.7,2,2(18,2X,E15.7),2X,E15.7)
300 STOP
END

SUBROUTINE FPSE(DELTA,PS,SMA,ECC,JF,PSE)
DATA DEGRAD/.17453293/, SUN/0.14/, R/0.34/, PI/3.14159265/, R0/6378./
RDELT=DELTA*DEGRAD
496 FAI=FLOAT(JF)*DEGRAD
FLFAI=(FLOAT(JF)+PS)*DEGRAD
FLFAI=POS(FLFAI)
497 ECOS=S1*ECC*COS(FLFAI)
ECC12=S1*-ECC**2
51 SITAM=-5*PI-ARSIN(ECOS/(SMA*ECC12))
SITAM=POS(SITAM)
H=SITAM/32.
52 SUMY=0.
SUMYF=0.
DO 550 IX=1,16
53 DK=FLOAT(2*IX-1)*H
CALL FSUMY(DK,RDELT,FAI,SUMY,PI,SMA,ECC12,ECOS)
SUMYO=SUMYO+.4*SUMY
551 CONTINUE
DO 559 IX=1,1
560 DK=FLOAT(2*IX)*H
CALL FSUMY(DK,RDELT,FAI,SUMY,PI,SMA,ECC12,ECOS)
SUMYE=SUMYE+.4*SUMY
559 CONTINUE
DK=SITAM
CALL FSUMY(DK,RDELT,FAI,SUMY,PI,SMA,ECC12,ECOS)
YMAX=SUMY
YO=0.
561 PSEE=(2.*SUN*R/PI)*(H/3.)*(Y0+YMAX+SUMYE+SUMYO)
RETURN
END

SUBROUTINE FSUMY(DK,RDELT,FAI,SUMY,PI,SMA,ECC12,ECOS)
1 SINJK= SIN(DK)
2 COSJK=COS(DK)
3 COSDE=COS(RDELT)
4 COSFE=COS(FAI)
5 YYKK=SINJK*SQRT(1.-(COSDE**COSFE)**2)
6 IF((YYKK-LT,1.0E-3)/GO TO 495
7 YKK=COSDK*COSDL*COSFE/YYKK
8 IF(ABS(YKK).GT.1.0) GO TO 495
9 FAIM=0.5*PI-ARSIN(YKK)
10
```

```

FAIM=POS(FAIM)
SFAIM=SQRT(1.-COS(FAIM)**2)
GO TO 496
495 FAIM=PI
SFAIM=0.
B11=SMA*ECC12*COSUK-ECCS
B12=FAIM*COSDK*COSDE*COSFI+SQRT(1.-(COSDL+COSFL)**2)*SFAIM
IF(B11.LT.0..OR.B12.LT.0.) GO TO 501
BUNSI=B11*B12*ECOS**2*SINDK
BUNBO=((SMA+ECC12)**2*ECOS**2-2.*SMA*ECC12*COSDK*ECOS)**1.5
SUMY=BUNSI/BUNBO
GO TO 502
501 SUMY=0.
502 RETURN
END
FUNCTION ARSIN(Y)
IF(ABS(Y).GT.1.0) GO TO 1001
ARSIN=Y**1.76.*Y**3+3./48.*Y**5+5./112.*Y**7+35./1152.*Y**9+
163./2816.*Y**11
GO TO 1003
1001 WRITE(6,1002) Y
1002 FORMAT(1HO,4X,6HYYY ,E16.8)
1003 RETURN
END
FUNCTION POS(X)
IF(X.LT.-6.2831853) GO TO 2
X=X-6.2831853
GO TO 1
2 IF(X.GE.0.) GO TO 3
X=X+6.2831853
GO TO 2
3 POS=X
RETURN
END

```

INITIAL CONDITIONS - CASE [1]									
TJ	0.0	500 E	4.0	0.0	30.0 DEG	0.0005 SEC	0.1538010E+00	LON	0.1500 0E+00
INC	3.20000E+02	ROTAX	0.68780E+01	DE+01	YEAR	-0.100000E+01	RO	0.63200E+04	FPS
KK	2	PERIOD	2.22595E+01	ROTAX	0.72000E+01	DE+01	0.600000E+01	ATM	0.5345000E+02
LAUNCH	1	DAYMAX	0.00000E+00	DAYMIN	0.00000E+00	SP	0.00000E+00	USP	0.00000E+00
1	0.600	0.00000E+00	0.00000E+00	0.00000E+00	0.00000E+00	1	0.00000E+00	0.00000E+00	0.00000E+00
2	1.120	0.00000E+00	0.00000E+00	0.00000E+00	0.00000E+00	2	0.00000E+00	0.00000E+00	0.00000E+00
3	1.800	0.00000E+00	0.00000E+00	0.00000E+00	0.00000E+00	3	0.00000E+00	0.00000E+00	0.00000E+00
4	2.440	0.00000E+00	0.00000E+00	0.00000E+00	0.00000E+00	4	0.00000E+00	0.00000E+00	0.00000E+00
5	3.000	0.00000E+00	0.00000E+00	0.00000E+00	0.00000E+00	5	0.00000E+00	0.00000E+00	0.00000E+00
6	3.560	0.00000E+00	0.00000E+00	0.00000E+00	0.00000E+00	6	0.00000E+00	0.00000E+00	0.00000E+00
7	4.200	0.00000E+00	0.00000E+00	0.00000E+00	0.00000E+00	7	0.00000E+00	0.00000E+00	0.00000E+00
8	4.800	0.00000E+00	0.00000E+00	0.00000E+00	0.00000E+00	8	0.00000E+00	0.00000E+00	0.00000E+00
9	5.400	0.00000E+00	0.00000E+00	0.00000E+00	0.00000E+00	9	0.00000E+00	0.00000E+00	0.00000E+00
10	6.000	0.00000E+00	0.00000E+00	0.00000E+00	0.00000E+00	10	0.00000E+00	0.00000E+00	0.00000E+00
11	6.560	0.00000E+00	0.00000E+00	0.00000E+00	0.00000E+00	11	0.00000E+00	0.00000E+00	0.00000E+00
12	7.200	0.00000E+00	0.00000E+00	0.00000E+00	0.00000E+00	12	0.00000E+00	0.00000E+00	0.00000E+00
13	7.800	0.00000E+00	0.00000E+00	0.00000E+00	0.00000E+00	13	0.00000E+00	0.00000E+00	0.00000E+00
14	8.400	0.00000E+00	0.00000E+00	0.00000E+00	0.00000E+00	14	0.00000E+00	0.00000E+00	0.00000E+00
15	9.000	0.00000E+00	0.00000E+00	0.00000E+00	0.00000E+00	15	0.00000E+00	0.00000E+00	0.00000E+00
16	9.560	0.00000E+00	0.00000E+00	0.00000E+00	0.00000E+00	16	0.00000E+00	0.00000E+00	0.00000E+00
17	10.200	0.00000E+00	0.00000E+00	0.00000E+00	0.00000E+00	17	0.00000E+00	0.00000E+00	0.00000E+00
18	10.800	0.00000E+00	0.00000E+00	0.00000E+00	0.00000E+00	18	0.00000E+00	0.00000E+00	0.00000E+00
19	11.400	0.00000E+00	0.00000E+00	0.00000E+00	0.00000E+00	19	0.00000E+00	0.00000E+00	0.00000E+00
20	12.000	0.00000E+00	0.00000E+00	0.00000E+00	0.00000E+00	20	0.00000E+00	0.00000E+00	0.00000E+00
21	12.560	0.00000E+00	0.00000E+00	0.00000E+00	0.00000E+00	21	0.00000E+00	0.00000E+00	0.00000E+00
22	12.200	0.00000E+00	0.00000E+00	0.00000E+00	0.00000E+00	22	0.00000E+00	0.00000E+00	0.00000E+00
23	12.800	0.00000E+00	0.00000E+00	0.00000E+00	0.00000E+00	23	0.00000E+00	0.00000E+00	0.00000E+00
24	13.520	0.00000E+00	0.00000E+00	0.00000E+00	0.00000E+00	24	0.00000E+00	0.00000E+00	0.00000E+00
25	14.256	0.00000E+00	0.00000E+00	0.00000E+00	0.00000E+00	25	0.00000E+00	0.00000E+00	0.00000E+00
26	15.000	0.00000E+00	0.00000E+00	0.00000E+00	0.00000E+00	26	0.00000E+00	0.00000E+00	0.00000E+00
27	15.560	0.00000E+00	0.00000E+00	0.00000E+00	0.00000E+00	27	0.00000E+00	0.00000E+00	0.00000E+00
28	16.200	0.00000E+00	0.00000E+00	0.00000E+00	0.00000E+00	28	0.00000E+00	0.00000E+00	0.00000E+00
29	16.800	0.00000E+00	0.00000E+00	0.00000E+00	0.00000E+00	29	0.00000E+00	0.00000E+00	0.00000E+00
30	17.400	0.00000E+00	0.00000E+00	0.00000E+00	0.00000E+00	30	0.00000E+00	0.00000E+00	0.00000E+00
31	18.000	0.00000E+00	0.00000E+00	0.00000E+00	0.00000E+00	31	0.00000E+00	0.00000E+00	0.00000E+00
32	18.600	0.00000E+00	0.00000E+00	0.00000E+00	0.00000E+00	32	0.00000E+00	0.00000E+00	0.00000E+00
33	19.200	0.00000E+00	0.00000E+00	0.00000E+00	0.00000E+00	33	0.00000E+00	0.00000E+00	0.00000E+00
34	19.800	0.00000E+00	0.00000E+00	0.00000E+00	0.00000E+00	34	0.00000E+00	0.00000E+00	0.00000E+00
35	20.400	0.00000E+00	0.00000E+00	0.00000E+00	0.00000E+00	35	0.00000E+00	0.00000E+00	0.00000E+00
36	21.000	0.00000E+00	0.00000E+00	0.00000E+00	0.00000E+00	36	0.00000E+00	0.00000E+00	0.00000E+00
37	21.600	0.00000E+00	0.00000E+00	0.00000E+00	0.00000E+00	37	0.00000E+00	0.00000E+00	0.00000E+00
38	22.200	0.00000E+00	0.00000E+00	0.00000E+00	0.00000E+00	38	0.00000E+00	0.00000E+00	0.00000E+00

39	0.280000E+03	1.00	0.867441E+02	8.6	0.7277293E+02	0.13301475E+02
40	0.234000E+03	4	0.801749E+02	9.4	0.670962E+02	0.1383837E+02
41	0.240000E+03	6.3	0.849853E+02	4.8	0.66497815E+02	0.170163ME+02
42	0.246000E+03	8.2	0.801945E+02	1	0.640242E+02	0.1701604E+02
43	0.252000E+03	9.4	0.853915E+02	7.9	0.726100E+02	0.128745E+02
44	0.258000E+03	3	0.793581E+02	9.3	0.671152E+02	0.122057E+02
45	0.264000E+03	6.8	0.850916E+02	4.3	0.669809E+02	0.181107E+02
46	0.270000E+03	8.1	0.803152E+02	3	0.696709E+02	0.104459E+02
47	0.276000E+03	9.9	0.8666949E+02	7.8	0.726560E+02	0.318496E+02
48	0.282000E+03	5	0.7973176E+02	9.5	0.6731762E+02	0.322418E+02
49	0.288000E+03	6.3	0.846564E+02	4.2	0.6691374E+02	0.176319E+02
50	0.294000E+03	8.1	0.8019693E+02	1	0.6973232E+02	0.1046481E+02
51	0.300000E+03	9.9	0.864446E+02	6.2	0.7254981E+02	0.1385865E+02
52	0.306000E+03	5	0.7984563E+02	9.5	0.6763604E+02	0.128556E+02
53	0.312000E+03	6.5	0.8477495E+02	4.2	0.6699445E+02	0.178404E+02
54	0.318000E+03	8.4	0.802442E+02	1	0.6931215E+02	0.1030328E+02
55	0.324000E+03	10.0	0.8762016E+02	8.2	0.7282898E+02	0.149112E+02
56	0.330000E+03	5	0.7965271E+02	9.4	0.6763665E+02	0.121606E+02
57	0.336000E+03	6.5	0.8625587E+02	4.3	0.6735959E+02	0.924975E+02
58	0.342000E+03	8.3	0.8046565E+02	2.1	0.6992107E+02	0.1034795E+02
59	0.348000E+03	10.0	0.8764618E+02	8.1	0.726988E+02	0.146763E+02
60	0.354000E+03	5	0.7961162E+02	9.4	0.6734376E+02	0.122656E+02
61	0.360000E+03	6.4	0.8798525E+02	4.3	0.6792597E+02	0.207252E+02
62	0.366000E+03	8.3	0.8068457E+02	2.0	0.6992596E+02	0.105618E+02
63	0.372000E+03	10.0	0.8818787E+02	8.0	0.7275589E+02	0.154319E+02
64	0.378000E+03	4	0.7936362E+02	9.8	0.6701313E+02	0.1229230E+02
65	0.384000E+03	6.3	0.8967546E+02	4.3	0.6701529E+02	0.2066037E+02
66	0.390000E+03	8.2	0.8091383E+02	1.9	0.6994629E+02	0.1091754E+02
67	0.396000E+03	9.9	0.8676114E+02	7.9	0.7277762E+02	0.138332E+02
68	0.402000E+03	10.3	0.7905887E+02	9.3	0.6709618E+02	0.1153269E+02
69	0.408000E+03	6.3	0.9068594E+02	4.2	0.6659332E+02	0.2839265E+02
70	0.414000E+03	8.1	0.8177382E+02	1	0.6987171E+02	0.1418665E+02
71	0.420000E+03	9.9	0.8740964E+02	7.8	0.7281718E+02	0.1428261E+02
72	0.426000E+03	7	0.7879161E+02	9.3	0.6713721E+02	0.115440E+02
73	0.432000E+03	6	0.9011008E+02	4.2	0.6697612E+02	0.2333396E+02
74	0.438000E+03	8.2	0.8094608E+02	2.2	0.6994928E+02	0.1094679E+02
75	0.444000E+03	9.9	0.8790825E+02	7.8	0.7287938E+02	0.1502877E+02
76	0.450000E+03	6	0.7885700E+02	9.4	0.6712898E+02	0.117286E+02
77	0.456000E+03	6.3	0.8942287E+02	4.2	0.6697105E+02	0.224552E+02
78	0.462000E+03	8.2	0.8889545E+02	2.2	0.6944081E+02	0.10467E+02
79	0.468000E+03	9.9	0.8802831E+02	8.2	0.7209671E+02	0.153312E+02
80	0.474000E+03	5	0.786114E+02	9.4	0.6737060E+02	0.14032E+02
81	0.480000E+03	6.5	0.913569E+02	4.1	0.6699915E+02	0.4759E+02
82	0.486000E+03	8.3	0.610918E+02	2.1	0.697272E+02	0.11641AE+02
83	0.492000E+03	10.0	0.894532E+02	8.1	0.7221459E+02	0.16307E+02
84	0.498000E+03	5	0.7876335E+02	9.4	0.670333E+02	0.1102E+02
85	0.504000E+03	6.4	0.953031E+02	4.2	0.6743811E+02	0.179454E+02
86	0.510000E+03	8.3	0.8133879E+02	2.0	0.6697920E+02	0.15545E+02
87	0.516000E+03	10.0	0.8898911E+02	8.0	0.72721594E+02	0.12216E+02

83	0.522000E+3	4	7856229E+02	93	0.670580E+02	0.10424E+02
89	0.528000E+3	64	100000.0E+03	42	0.670428E+02	0.02520E+02
90	0.534000E+3	67	815992.0E+02	20	0.701001E+02	0.12924E+02
91	0.540000E+3	69	8815157E+02	79	0.727771E+02	0.15786E+02
92	0.546000E+3	73	782983.0E+02	93	0.6706270E+02	0.121563E+02
93	0.552000E+3	64	100000.0E+03	42	0.6701241E+02	0.029879E+02
94	0.558000E+3	82	8175589E+02	24	0.700547E+02	0.10814E+02
95	0.564000E+3	66	8869191E+02	79	0.7280598E+02	0.15885E+02
96	0.570000E+3	73	7806619E+02	92	0.671429E+02	0.10104E+02
97	0.576000E+3	64	100000.0E+03	42	0.6701050E+02	0.028644E+02
98	0.582000E+3	81	8197125E+02	23	0.699749E+02	0.118830E+02
99	0.588000E+3	69	8921318E+02	78	0.7263452E+02	0.167866E+02
100	0.594000E+3	66	7814442E+02	92	0.6715140E+02	0.109300E+02
101	0.600000E+3	65	810000.0E+03	43	0.6697876E+02	0.0332124E+02
102	0.606000E+3	82	81656.0E+02	22	0.6995624E+02	0.110930E+02
103	0.612000E+3	90	8944870E+02	77	0.7286994E+02	0.165876E+02
104	0.618000E+3	44	781683.0E+02	94	0.6713506E+02	0.113320E+02
105	0.624000E+3	66	100000.0E+03	41	0.6693794E+02	0.032623E+02
106	0.630000E+3	83	8170357E+02	22	0.6998100E+02	0.111229E+02
107	0.636000E+3	103	1000000.0E+03	83	0.7290224E+02	0.0299795E+02
108	0.642000E+3	46	7860550E+02	93	0.6692653E+02	0.1151255E+02
109	0.648000E+3	66	1000000.0E+03	41	0.669817E+02	0.031840E+02
110	0.654000E+3	83	8195198E+02	21	0.703658E+02	0.119254UE+02
111	0.660000E+3	103	1000000.0E+03	80	0.728372UE+02	0.027626UE+02
112	0.666000E+3	45	7826819E+02	93	0.6706280E+02	0.10532E+02
113	0.672000E+3	66	1000000.0E+03	41	0.6704048E+02	0.0245952E+02
114	0.678000E+3	68	8224109E+02	20	0.7015544E+02	0.128565E+02
115	0.684000E+3	93	8950531E+02	80	0.6708646E+02	0.168646E+02
116	0.690000E+3	43	7893156E+02	93	0.6708608E+02	0.114691E+02
117	0.696000E+3	66	1000000.0E+03	42	0.6705327E+02	0.024678E+02
118	0.702000E+3	82	8244836E+02	24	0.703928E+02	0.12891E+02
119	0.708000E+3	99	8997723E+02	79	0.7298658E+02	0.17785E+02
120	0.714000E+3	43	7960452E+02	92	0.67196688E+02	0.120784E+02
121	0.720000E+3	67	1000000.0E+03	41	0.6703055E+02	0.024678E+02

TOPIC ... 000000E+01

MINX1

11.9545364E+01

1970年7月

温度設計の立場よりみた人工衛星の最適打上げ計画

```

SHADOW CALCULATIONS - CASE 2

UNIFORM CONDITIONS
  TO    0.200000E+00  DD    0.33000E+03  ECC    0.1508010E+00  LON   0.150000E+03  LAT   0.280000E+02
  INC   0.350000E+02  RP    0.687800E+04  S    -0.100000E+01  YEAR  0.397000E+04  RO    0.637800E+04  EPS   0.234500E+02
  TMAX  0.160000E+03  UT0AY  0.300000E+01  ATM   0.100000E+02
  KK    2
  PERIOD 0.2025455E+01

T= 2.000
  QMAX= 0.1499888E+00  QMIN= 0.1254622E+00  QDOT= 0.2452663E-01
  DAYMAX= 31  DAYMIN= 18
  DAYMAX= 33  DAYMIN= 9
  DAYMAX= 34  DAYMIN= 10
  DAYMAX= 36  DAYMIN= 10

T= 3.000
  QMAX= 0.1450897E+00  QMIN= 0.1255567E+00  QDOT= 0.1953072E-01
  DAYMAX= 33  DAYMIN= 9
  DAYMAX= 34  DAYMIN= 10
  DAYMAX= 36  DAYMIN= 10

T= 3.500
  QMAX= 0.1492280E+00  QMIN= 0.1262762E+00  QDOT= 0.2395148E-01
  DAYMAX= 36  DAYMIN= 15
  DAYMAX= 38  DAYMIN= 15

T= 4.000
  QMAX= 0.1389158E+00  QMIN= 0.1266530E+00  QDOT= 0.3226285E-01
  DAYMAX= 38  DAYMIN= 15
  DAYMAX= 39  DAYMIN= 15

T= 4.500
  QMAX= 0.1375117E+00  QMIN= 0.1270340E+00  QDOT= 0.3047710E-01
  DAYMAX= 39  DAYMIN= 15
  DAYMAX= 40  DAYMIN= 15

T= 5.000
  QMAX= 0.1371456E+00  QMIN= 0.1275757E+00  QDOT= 0.5572983E-01
  DAYMAX= 39  DAYMIN= 15
  DAYMAX= 40  DAYMIN= 15

T= 5.500
  QMAX= 0.1372078E+00  QMIN= 0.1263322E+00  QDOT= 0.9126574E-02
  DAYMAX= 39  DAYMIN= 4
  DAYMAX= 40  DAYMIN= 4

```

```

T= 0.000 QMIN DQDT
QMAX 0.1372656E+0 0.128162E+01 0.9023339E-02
DAYAX= 80 DAYIN= 1
T= 6.500 QMIN DQDT
QMAX 0.1372656E+0 0.128162E+01 0.9023339E-02
DAYAX= 80 DAYIN= 1
T= 7.000 QMIN DQDT
QMAX 0.1372656E+0 0.1284270E+00 0.9068339E-02
DAYAX= 85 DAYIN= 1
T= 7.500 QMIN DQDT
QMAX 0.1372656E+0 0.1286933E+00 0.8901149E-02
DAYAX= 86 DAYIN= 1
T= 8.000 QMIN DQDT
QMAX 0.1372233E+0 0.1290265E+01 0.8495867E-02
DAYAX= 86 DAYIN= 1
T= 8.500 QMIN DQDT
QMAX 0.1377756E+0 0.1294257E+01 0.8350402E-02
DAYAX= 91 DAYIN= 1
T= 9.000 QMIN DQDT
QMAX 0.1370511E+0 0.1298875E+00 0.8087516E-02
DAYAX= 92 DAYIN= 1
T= 9.500 QMIN DQDT
QMAX 0.1381115E+0 0.1303740E+00 0.7737547E-02
DAYAX= 92 DAYIN= 2
T= 10.000 QMIN DQDT
QMAX 0.1382672E+0 0.1308754E+00 0.7391751E-02
DAYAX= 94 DAYIN= 2
T= 10.500 QMIN DQDT
QMAX 0.1385374E+00 0.1314093E+00 0.7128090E-02
DAYMAX= 97 DAYMIN= 2

```

1970 年 7 月

温度設計の立場よりみた人工衛星の最適打上げ計画

```

T= 11.000      QMIN      DQDT
      0.1391651E+00  0.1319584E+00  0.7206708E-02
DAYMAX= 96 DAYMIN= 3

T= 11.500      QMIN      DQDT
      0.1414609E+00  0.1316011E+00  0.9859800E-02
DAYMAX= 98 DAYMIN= 82

T= 12.000      QMIN      DQDT
      0.1435350E+00  0.1339996E+00  0.1253539E-01
DAYMAX= 100 DAYMIN= 82

T= 12.500      QMIN      DQDT
      0.1451302E+00  0.1304213E+00  0.1470897E-01
DAYMAX= 101 DAYMIN= 83

T= 13.000      QMIN      DQDT
      0.1456097E+00  0.1298555E+00  0.1575419E-01
DAYMAX= 101 DAYMIN= 83

T= 13.500      QMIN      DQDT
      0.1458154E+00  0.1293279E+00  0.1648751E-01
DAYMAX= 101 DAYMIN= 83

T= 14.000      QMIN      DQDT
      0.1450308E+00  0.1285984E+00  0.1643234E-01
DAYMAX= 101 DAYMIN= 83

T= 14.500      QMIN      DQDT
      0.1430539E+00  0.1279693E+00  0.1508459E-01
DAYMAX= 101 DAYMIN= 83

TOP1= 0.1050000E+02 PQMI= -0.7128090E-02

```

SHENON CALIFORNIA

車道[2]

1970年7月

温度設計の立場よりみた人工衛星の最適打上げ計画

39	0.2280000E+03	75	7238914E+02	92	0.6436545E+02	0.523697E+01
41	0.2400000E+03	76	7626161E+02	71	0.6425832E+02	0.1203316E+02
42	0.2460000E+03	101	7509193E+02	32	0.6431976E+02	0.407217E+02
43	0.2520000E+03	74	7071451E+02	1	0.6529977E+02	0.544734E+01
44	0.2580000E+03	88	7280916E+02	92	0.6436914E+02	0.6440018E+01
45	0.2640000E+03	101	7515701E+02	71	0.6428019E+02	0.26760E+02
46	0.2700000E+03	61	7086591E+02	1	0.6528134E+02	0.2984564E+01
47	0.2760000E+03	75	7283584E+02	92	0.6436924E+02	0.64436405E+01
48	0.2820000E+03	89	7603546E+02	71	0.6428995E+02	0.414551E+02
49	0.2880000E+03	101	7502545E+02	33	0.6434032E+02	0.1068513E+02
50	0.2940000E+03	61	7100359E+02	1	0.6531850E+02	0.2685089E+01
51	0.3000000E+03	74	7304114E+02	92	0.6441347E+02	0.3179620E+02
52	0.3060000E+03	89	7607074E+02	71	0.6427454E+02	0.106650E+02
53	0.3120000E+03	101	7489188E+02	33	0.6432439E+02	東洋技術研究所
54	0.3180000E+03	60	7106561E+02	15	0.6531276E+02	0.529854E+01
55	0.3240000E+03	74	7325562E+02	93	0.6440442E+02	0.685242E+01
56	0.3300000E+03	69	7647160E+02	71	0.6425871E+02	0.221289E+02
57	0.3360000E+03	101	7498184E+02	33	0.6432907E+02	0.1065277E+02
58	0.3420000E+03	60	7104255E+02	15	0.6533267E+02	0.3714874E+01
59	0.3480000E+03	74	7512469E+02	93	0.643721E+02	0.872487E+01
60	0.3540000E+03	89	7070608E+02	71	0.6426375E+02	0.120680E+02
61	0.3600000E+03	101	7531177E+02	32	0.6436214E+02	0.11093E+02
62	0.3660000E+03	62	7102197E+02	15	0.653092E+02	0.5680692E+01
63	0.3720000E+03	76	738683E+02	93	0.6436418E+02	0.904166E+01
64	0.3780000E+03	89	7762406E+02	70	0.6424525E+02	0.1377861E+02
65	0.3840000E+03	101	7565277E+02	32	0.6429823E+02	0.3105454E+02
66	0.3900000E+03	62	7123961E+02	17	0.6541010E+02	0.5829514E+01
67	0.3960000E+03	74	7382494E+02	92	0.6437805E+02	0.946884E+01
68	0.4020000E+03	88	7315732E+02	70	0.6425459E+02	0.3390276E+02
69	0.4080000E+03	101	7579260E+02	32	0.6431984E+02	0.3147276E+02
70	0.4140000E+03	62	7140822E+02	17	0.65066913E+02	0.6039093E+01
71	0.4200000E+03	74	740756E+02	92	0.6439278E+02	0.101479E+02
72	0.4260000E+03	88	7827921E+02	70	0.6421782E+02	0.1400139E+02
73	0.4320000E+03	101	7571811E+02	2	0.6434062E+02	0.137749E+02
74	0.4380000E+03	61	7159796E+02	16	0.6533018E+02	0.6267776E+01
75	0.4440000E+03	74	7469438E+02	93	0.6441182E+02	0.1048256E+02
76	0.4500000E+03	89	7752028E+02	71	0.6428003E+02	0.334020E+02
77	0.4560000E+03	101	7553042E+02	33	0.6435069E+02	0.121260E+02
78	0.4620000E+03	61	7163528E+02	16	0.6532846E+02	0.3328064E+01
79	0.4680000E+03	74	7462370E+02	93	0.6439297E+02	0.1026736E+02
80	0.4740000E+03	89	7778489E+02	71	0.6427829E+02	0.3351140E+01
81	0.4800000E+03	101	7554304E+02	32	0.6435127E+02	0.121444E+02
82	0.4860000E+03	60	7101096E+02	15	0.6535720E+02	0.333613E+01
83	0.4920000E+03	74	742881E+02	93	0.6436366E+02	0.1066514E+02
84	0.4980000E+03	89	782962E+02	70	0.6425670E+02	0.3410266E+02
85	0.5040000E+03	101	7578358E+02	32	0.6431021E+02	0.147343E+02
86	0.5100000E+03	61	7161056E+02	15	0.6541054E+02	0.620012E+01
87	0.5160000E+03	74	7446464E+02	93	0.6434927E+02	0.1011719E+02

63	-3.2617E+03	1.89	-7.689018E+02	7.5	0.642429E+02	0.44475E+02
64	-3.2810E+03	1.89	-7.611446E+02	7.2	0.640824E+02	0.41073E+02
65	-3.3403E+03	1.89	-7.47918E+02	7.1	0.65192E+02	0.46305E+02
66	-3.2400E+03	1.89	-7.49140E+02	7.0	0.64858E+02	0.55864E+02
67	-3.5400E+03	2.03	-7.92535E+02	7.0	0.6424419E+02	0.58289E+02
68	-3.5250E+03	1.91	-7.92056E+02	6.9	0.64248E+02	0.51976E+02
69	-3.5280E+03	1.91	-7.19964E+02	6.7	0.64203E+02	0.61340E+02
70	-3.5640E+03	2.03	-7.56626E+02	6.9	0.64240E+02	0.48914E+02
71	-3.3700E+03	1.89	-7.99248E+02	7.0	0.642369E+02	0.51714E+02
72	-3.576100E+03	1.89	-7.96053E+02	6.9	0.6424245E+02	0.49792E+02
73	-3.58200E+03	6	-7.29225E+02	7.1	0.6424245E+02	0.52265E+02
74	-3.58000E+03	7	-7.61147E+02	7.3	0.6424764E+02	0.42257E+02
75	-3.58400E+03	8	-7.94425E+02	7.3	0.642492E+02	0.47663E+02
76	-3.60000E+03	1.01	-7.64670E+02	6.9	0.6424762E+02	0.41814E+02
77	-3.60600E+03	1.01	-7.23222E+02	6	0.6424375E+02	0.59122E+02
78	-3.60200E+03	1.02	-7.60710E+02	7.4	0.6424120E+02	0.48359E+02
79	-3.60800E+03	1.02	-7.91639E+02	7.5	0.6424720E+02	0.42257E+02
80	-3.62400E+03	8	-7.07163E+02	7.2	0.6424907E+02	0.47663E+02
81	-3.63000E+03	9	-7.23339E+02	7.6	0.6425028E+02	0.41814E+02
82	-3.63600E+03	9	-7.58724E+02	7.6	0.6425765E+02	0.41420E+02
83	-3.64200E+03	8	-7.97321E+02	7.6	0.642628E+02	0.57605E+02
84	-3.64800E+03	9	-7.92010E+02	7.4	0.6421140E+02	0.47951E+02
85	-3.65400E+03	8	-7.42208E+02	7.6	0.642748E+02	0.68666E+01
86	-3.66000E+03	7	-7.57745E+02	7.4	0.6425571E+02	0.5347E+01
87	-3.66600E+03	7	-7.53745E+02	7.5	0.6424805E+02	0.48914E+01
88	-3.67200E+03	6	-7.01931E+02	7.5	0.6424410E+02	0.52842E+01
89	-3.67800E+03	7	-6.4792E+02	7.4	0.6421353E+02	0.56859E+01
90	-3.68400E+03	6	-7.26556E+02	7.8	0.642628E+02	0.59052E+01
91	-3.69000E+03	7	-6.01891E+02	7.3	0.6426985E+02	0.41212E+01
92	-3.69600E+03	8	-7.57745E+02	6.9	0.6424318E+02	0.58630E+01
93	-3.70200E+03	6	-7.66352E+02	7.1	0.6424991E+02	0.48451E+01
94	-3.70800E+03	6	-7.59447E+02	7.7	0.6428861E+02	0.48827E+01
95	-3.71400E+03	7	-7.6742E+02	7.3	0.642851E+02	0.53667E+01
96	-3.72000E+03	8	-7.1464E+02	6.9	0.6423506E+02	0.72641E+01
97	-3.72600E+03	7	-7.57312E+02	6.9	0.6424444E+02	0.42567E+01

TOP TO 0.7800000E+02

IX-1

1

S
I
D
E
R
U
S

卷之三

